

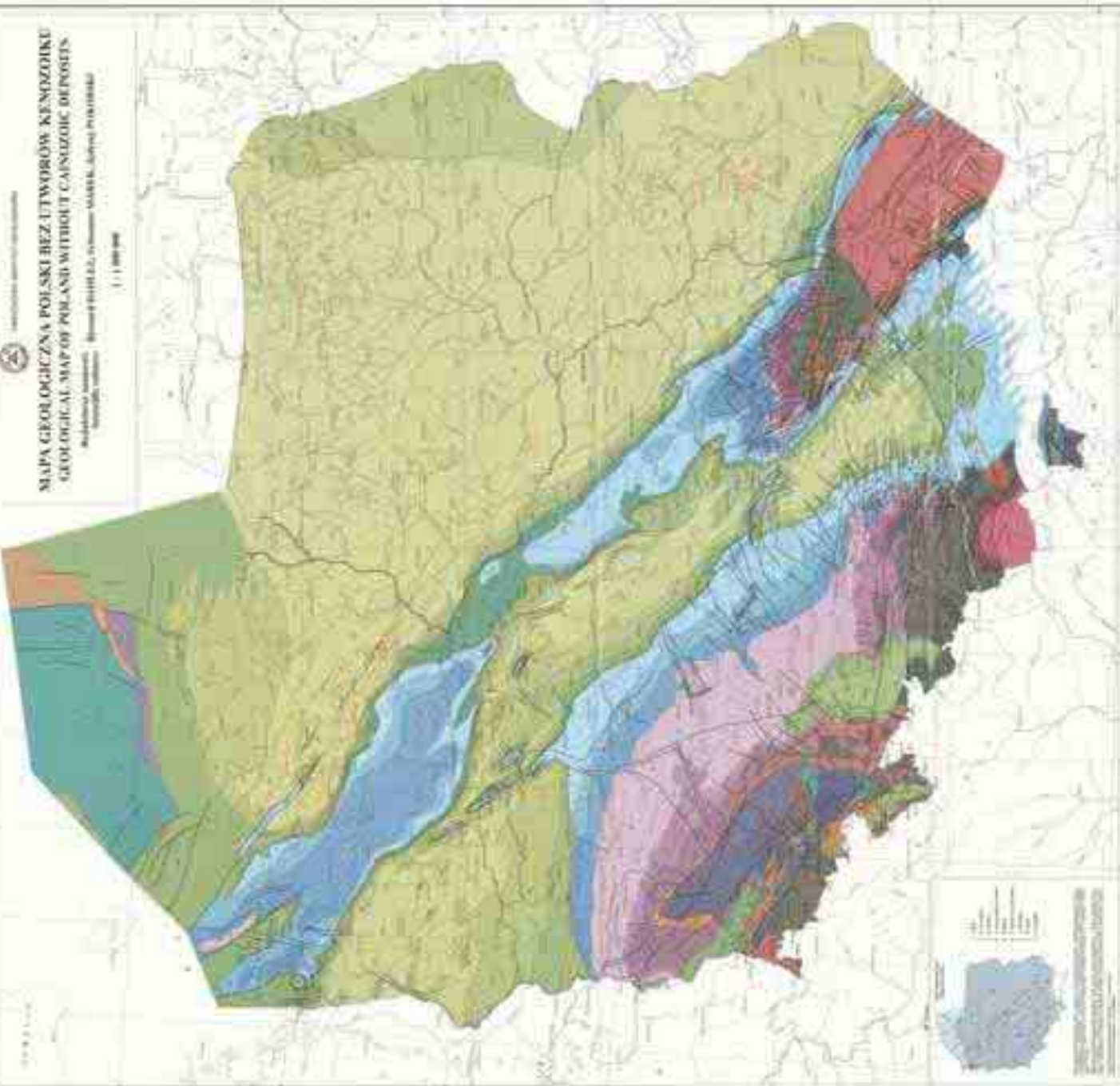
Tensional origin of the inversion in the Polish Basin with reference to the tensional development of the Bohemian Massif

Jan Koziar

MAPA GEOLICZNA POLSKI BEZ USTWÓRÓW KENDOJKI
GEOLOGICAL MAP OF POLAND WITHOUT CENOZOIC DEPOSITS

Geologic units - Formations - Water bodies

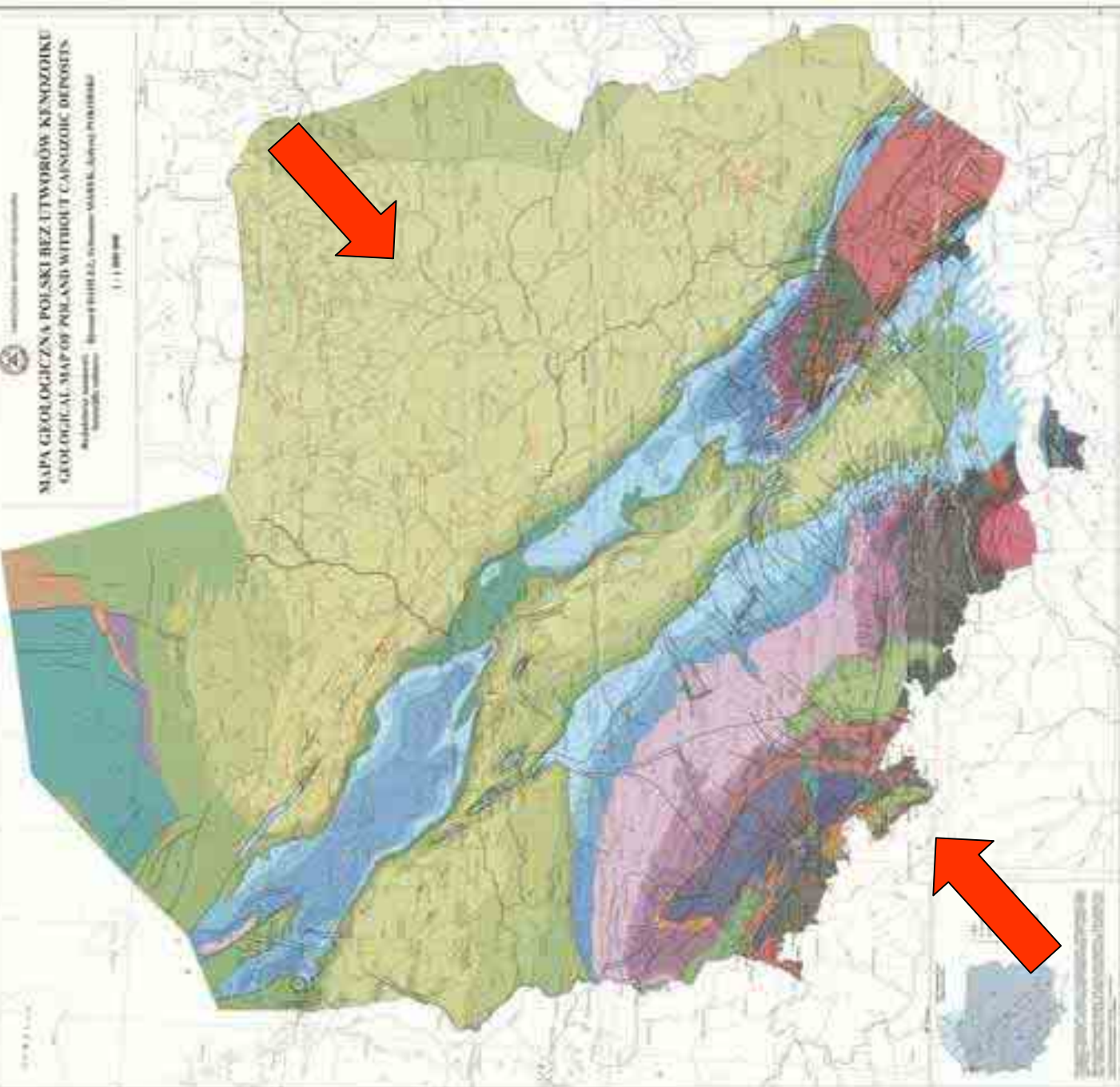
1 : 1 000 000



MAPA GEOLICZNA POLSKI BEZ UTWORÓW XENOZOKU
GEOLOGICAL MAP OF POLAND WITHOUT XENOCOGENIC DEPOSITS

Geologic units - Formations - Massif limit - Plutons

1 : 1 000 000



Voigt 1963

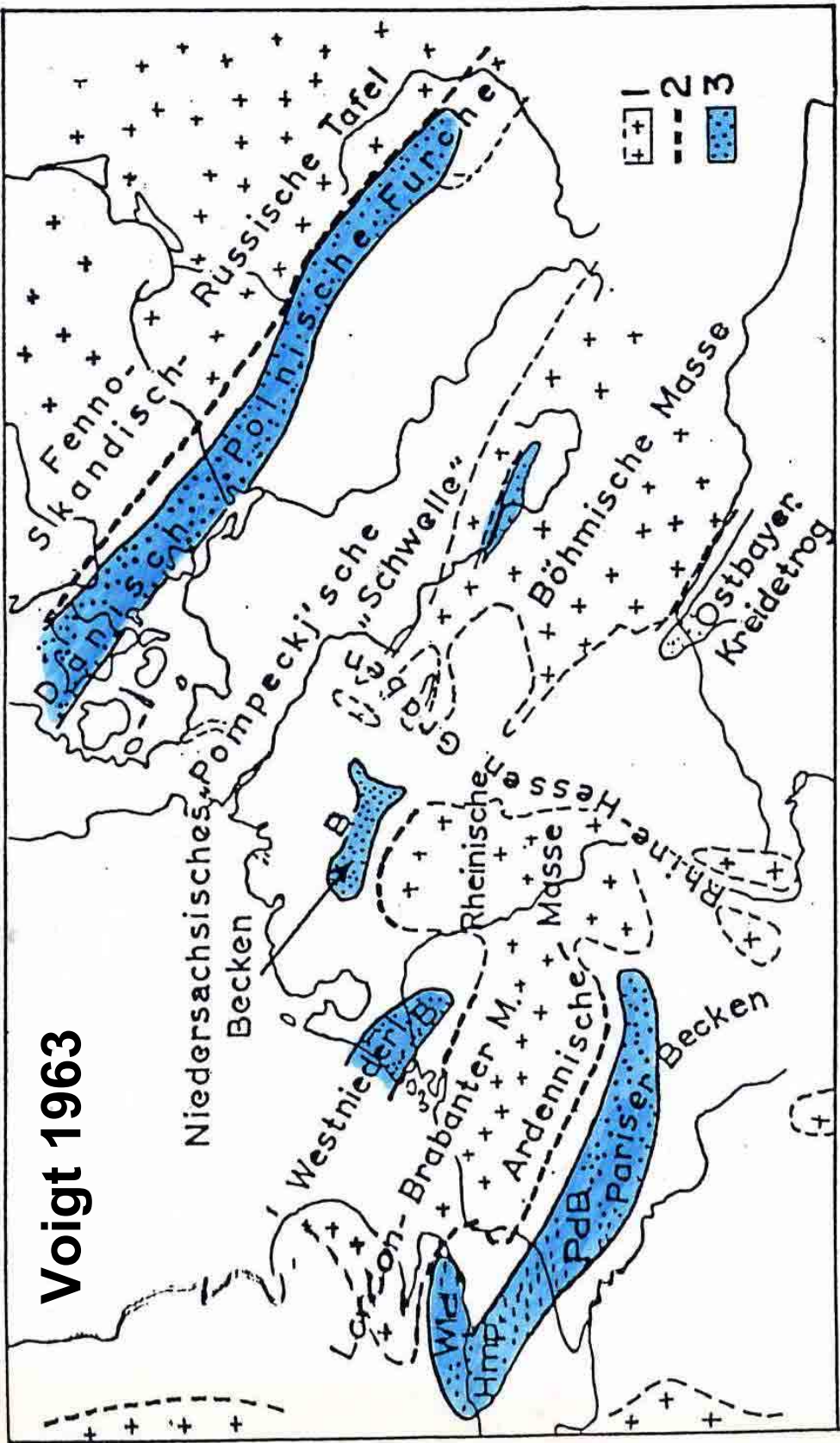


Fig. 265. Schematic map of the "Randtröge" developed during the Jurassic in northwestern Europe.
1 = crustal blocks with rising tendencies, Hercynian uplands with their outliers; 2 = active boundaries in the younger sedimentary basins; 3 = "Randtröge".

Hmp = Hampshire; Wld = Wealden; PdB = Pays de Bray Basin; GfB = Gifhorn Basin; H = Harz Mountain
(After Voigt 1963.)

Voigt 1963

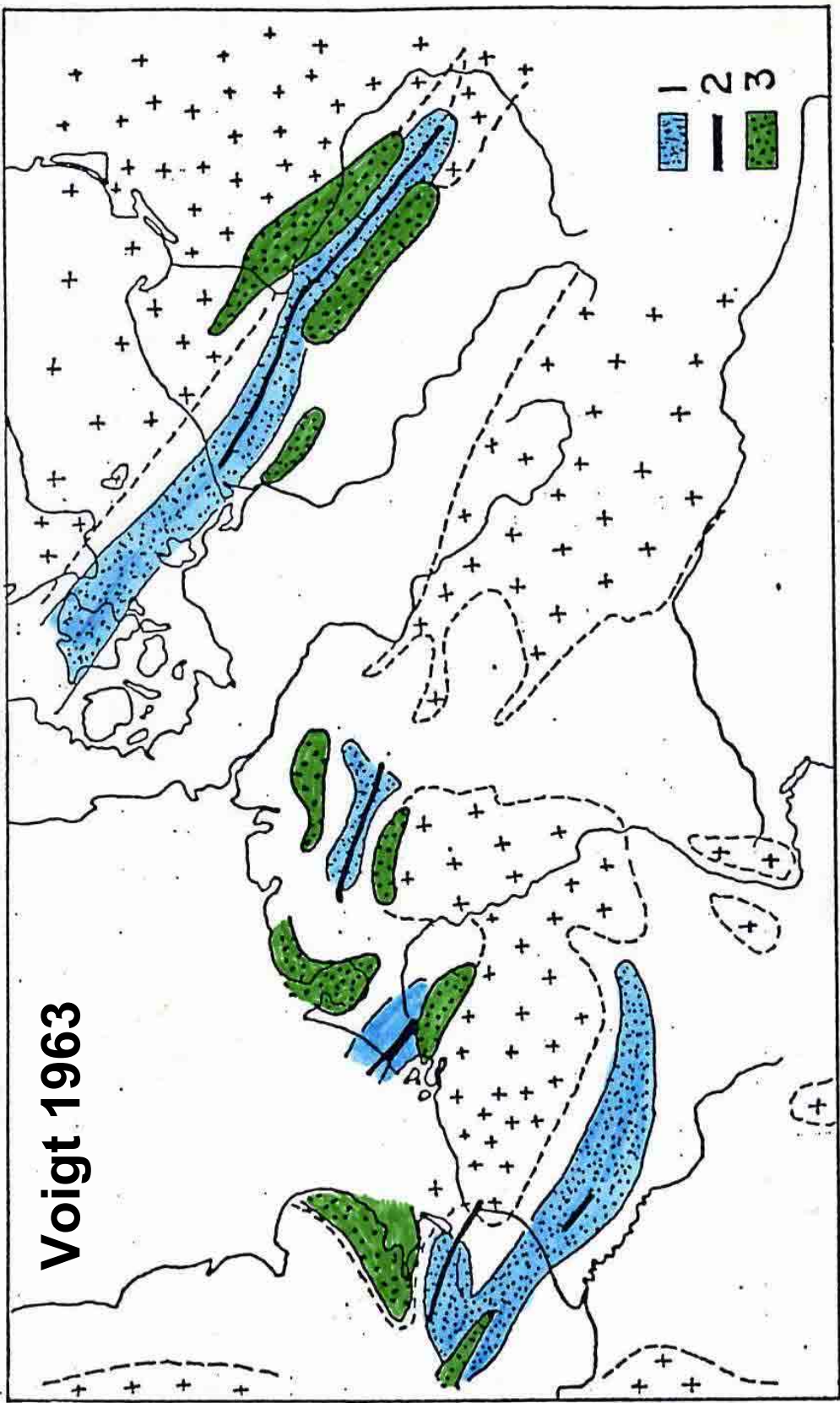
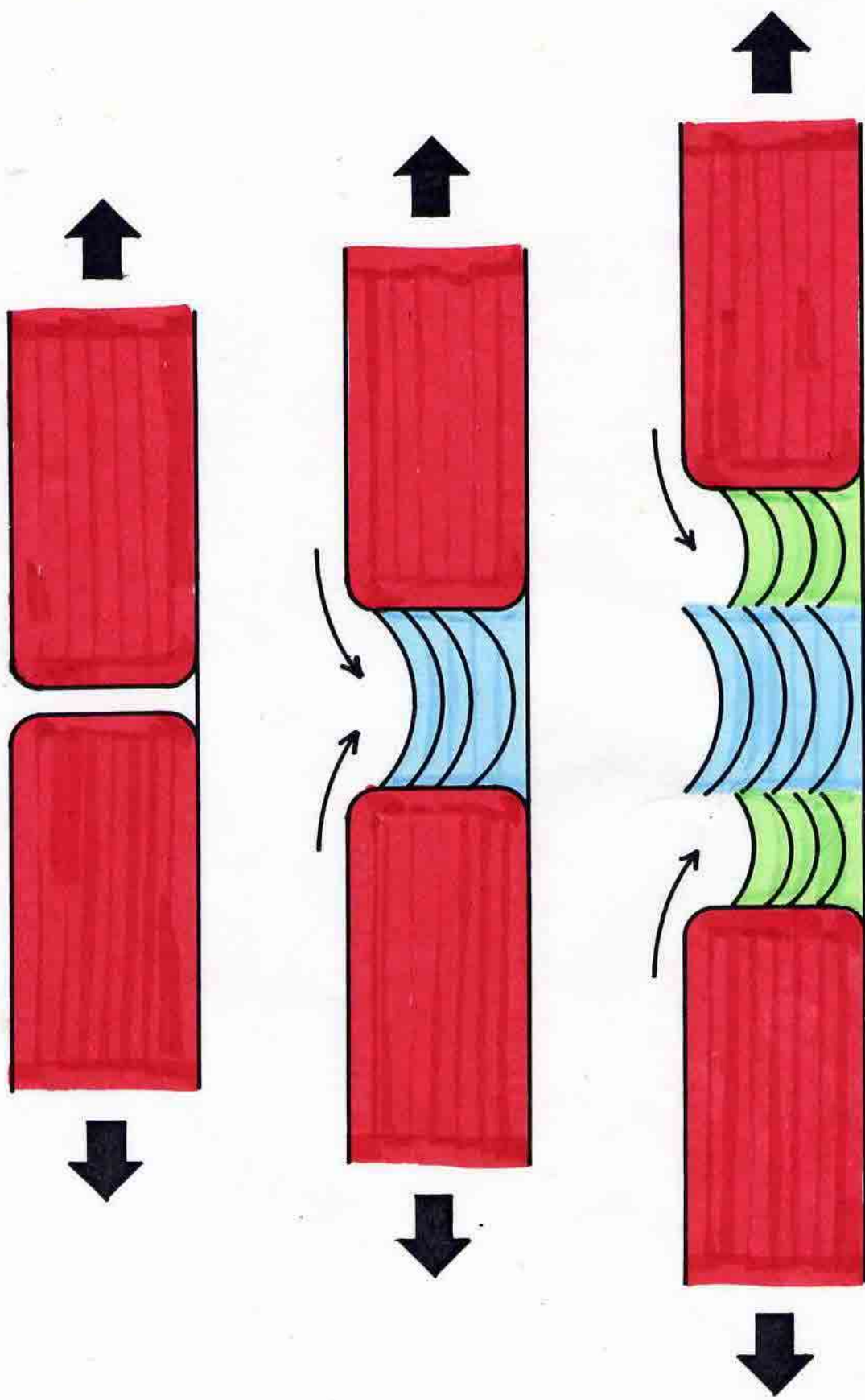
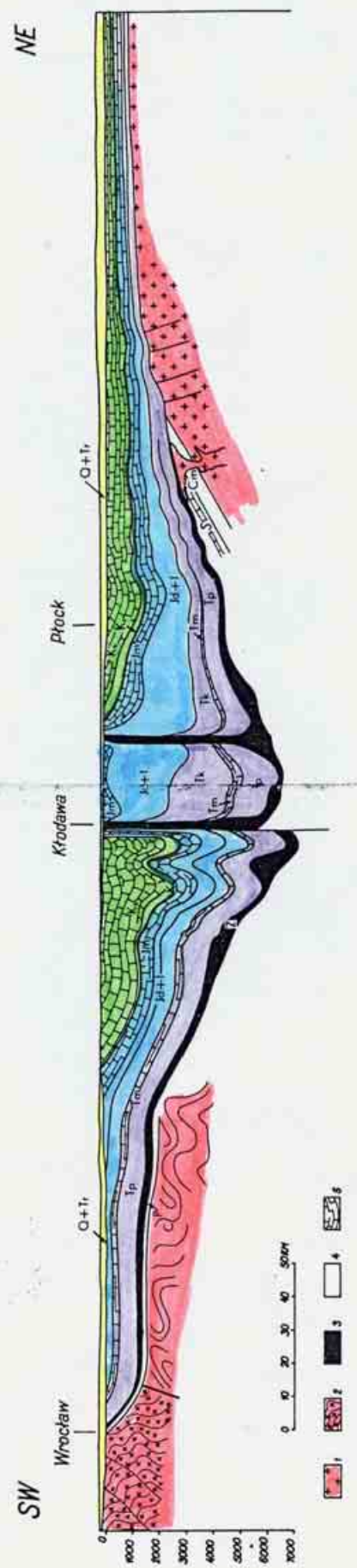


Fig.266. Development of subsequent troughs during Cretaceous and Tertiary times, parallel to some of the primary "Randtröge" of the Jurassic. Compare Fig.265.
1 = inverted "Randtröge" of the Jurassic; 2 = anticlinal structures; 3 = subsequent troughs. (After VOIGT, 1963)



Mapa geologiczna Polski bez utworów kenozoiku



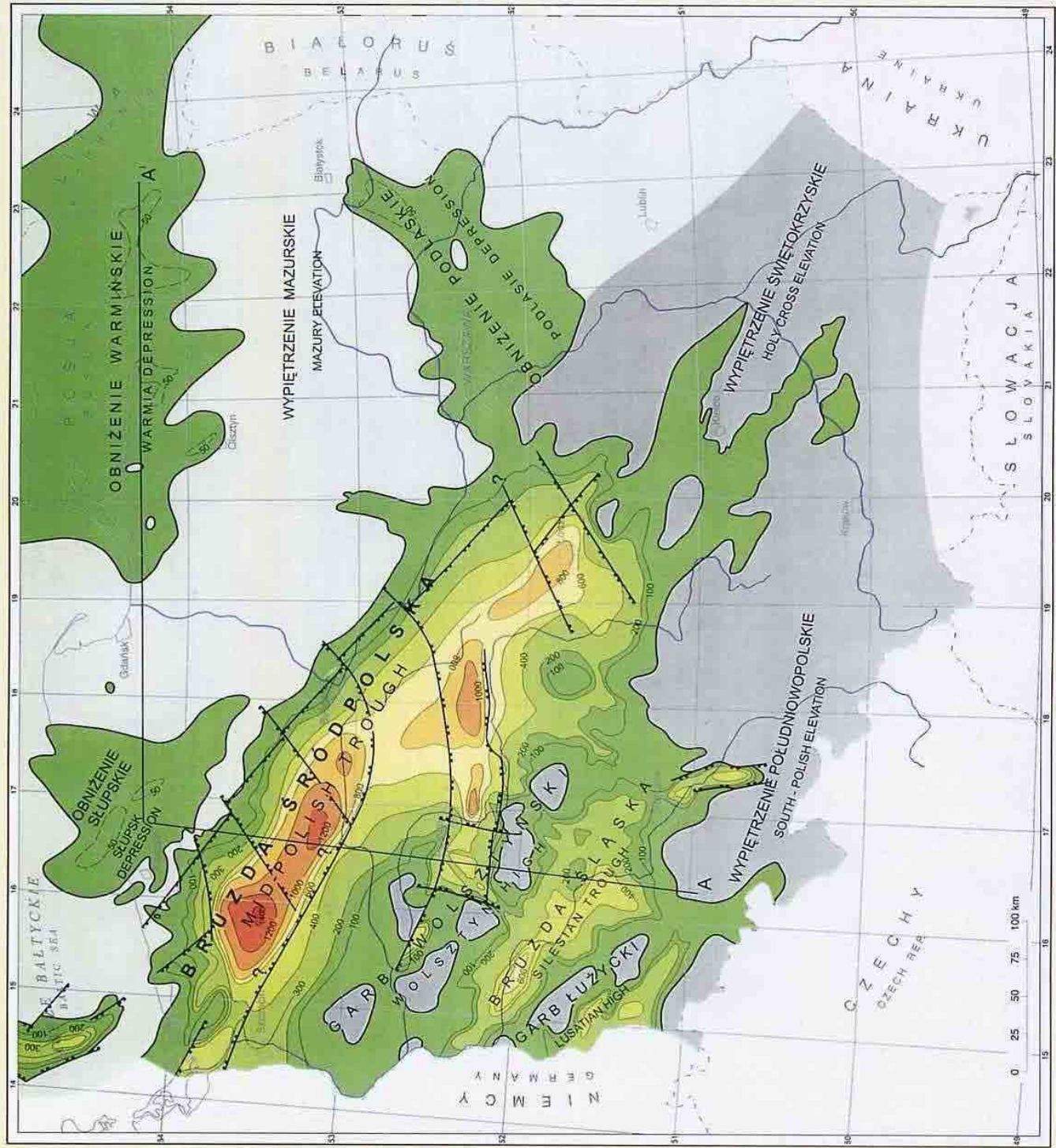
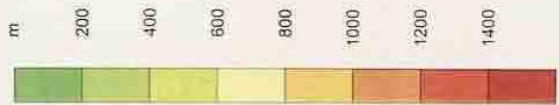
Rozwój bruzdy śródpolskiej i jej inwersji dokumentowany przez mapy i profile miąższczościowe

Atlas paleogeograficzny
epikontynentalnego permu
i mezozoiku w Polsce
PIG, Warszawa, 1998

Jędrzej Pokorski

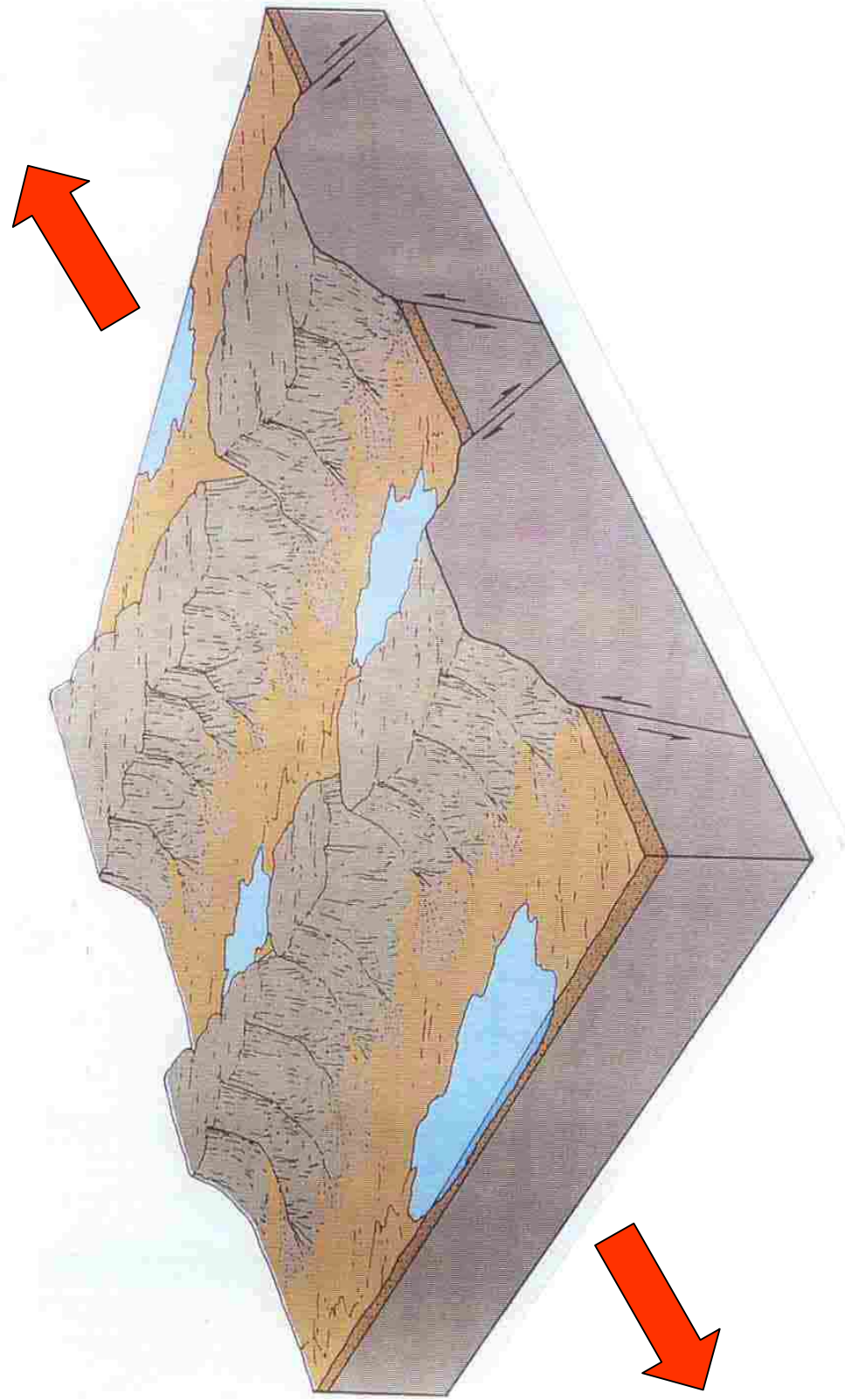
GÓRNY CZERWONY SPĄGOWIEC
podgrupa Drawy i Noteć
MIAŁSZOŚĆ

UPPER ROTLEGEND
Drawa and Noteć sub-Group
THICKNESS

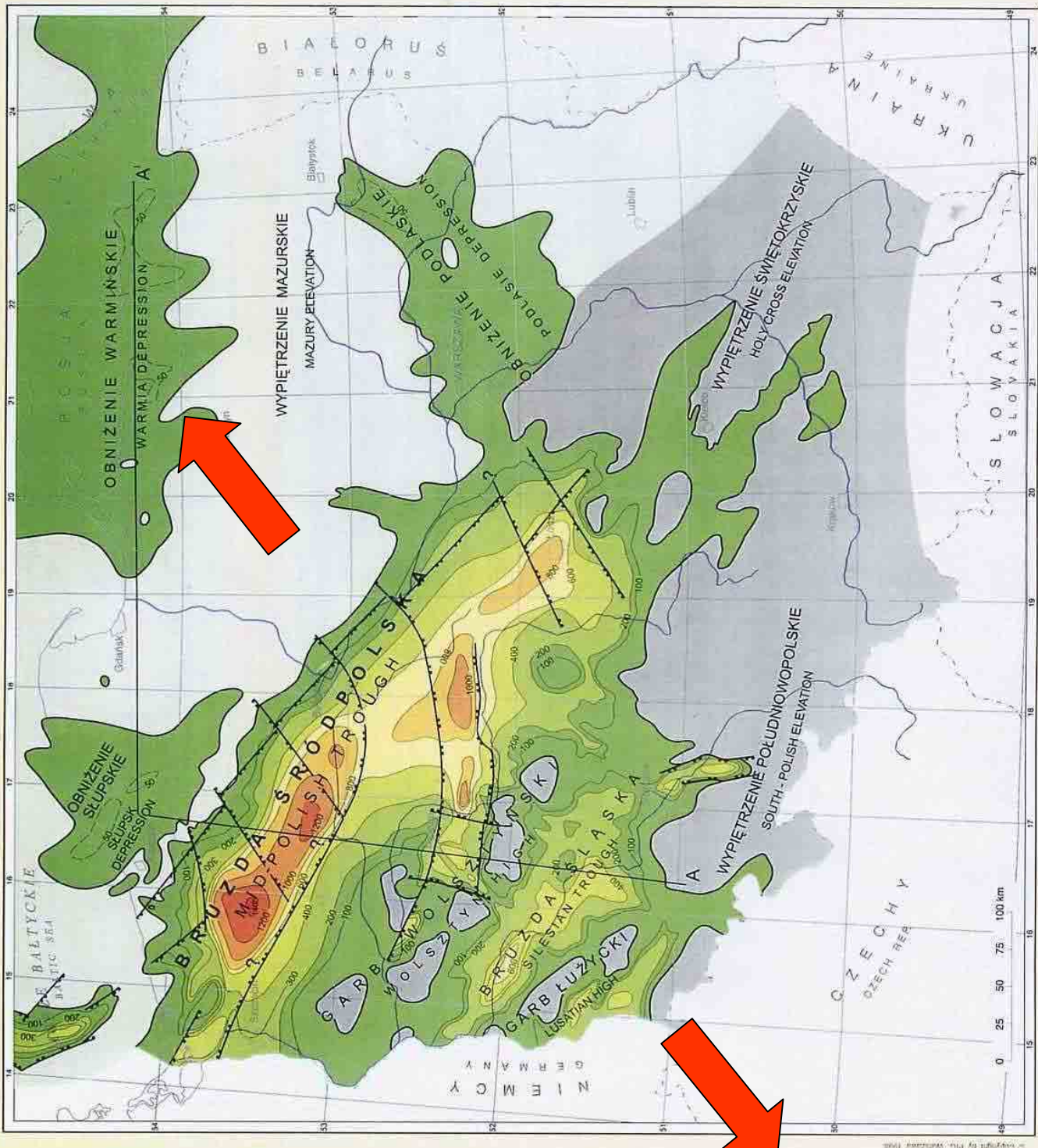
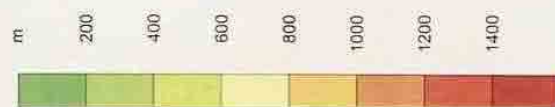


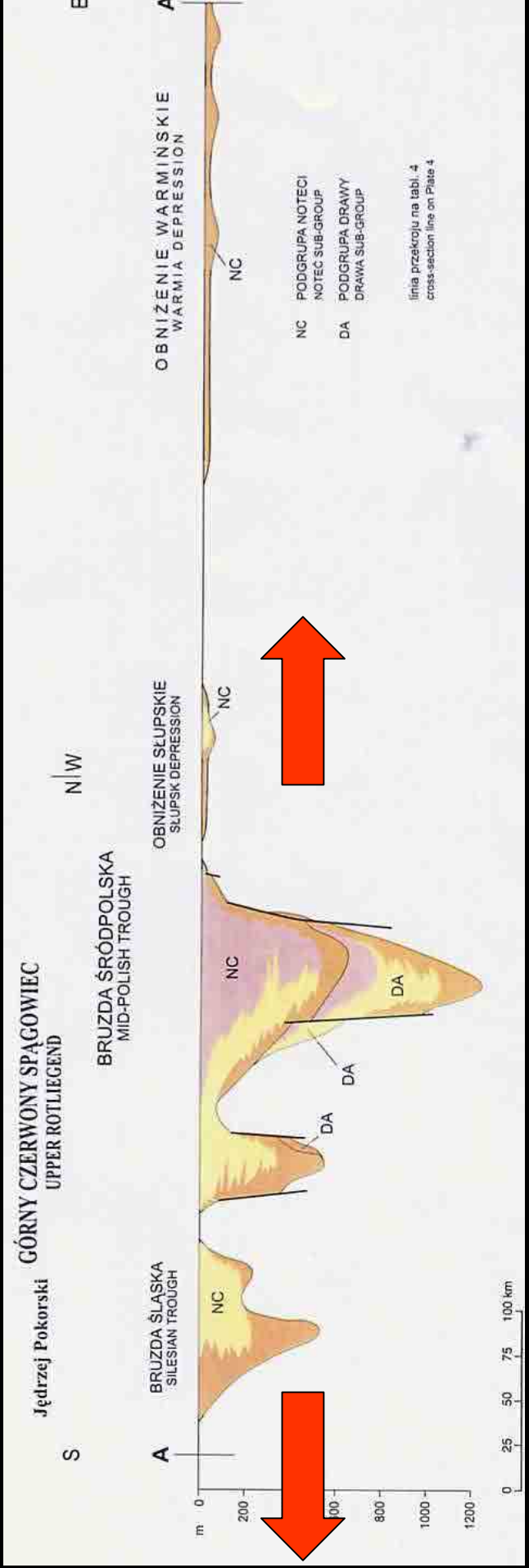
Basin & Range

Morfologia i struktura typu „basenów i grzbietów”,
wskaźnik regionalnego rozciągania

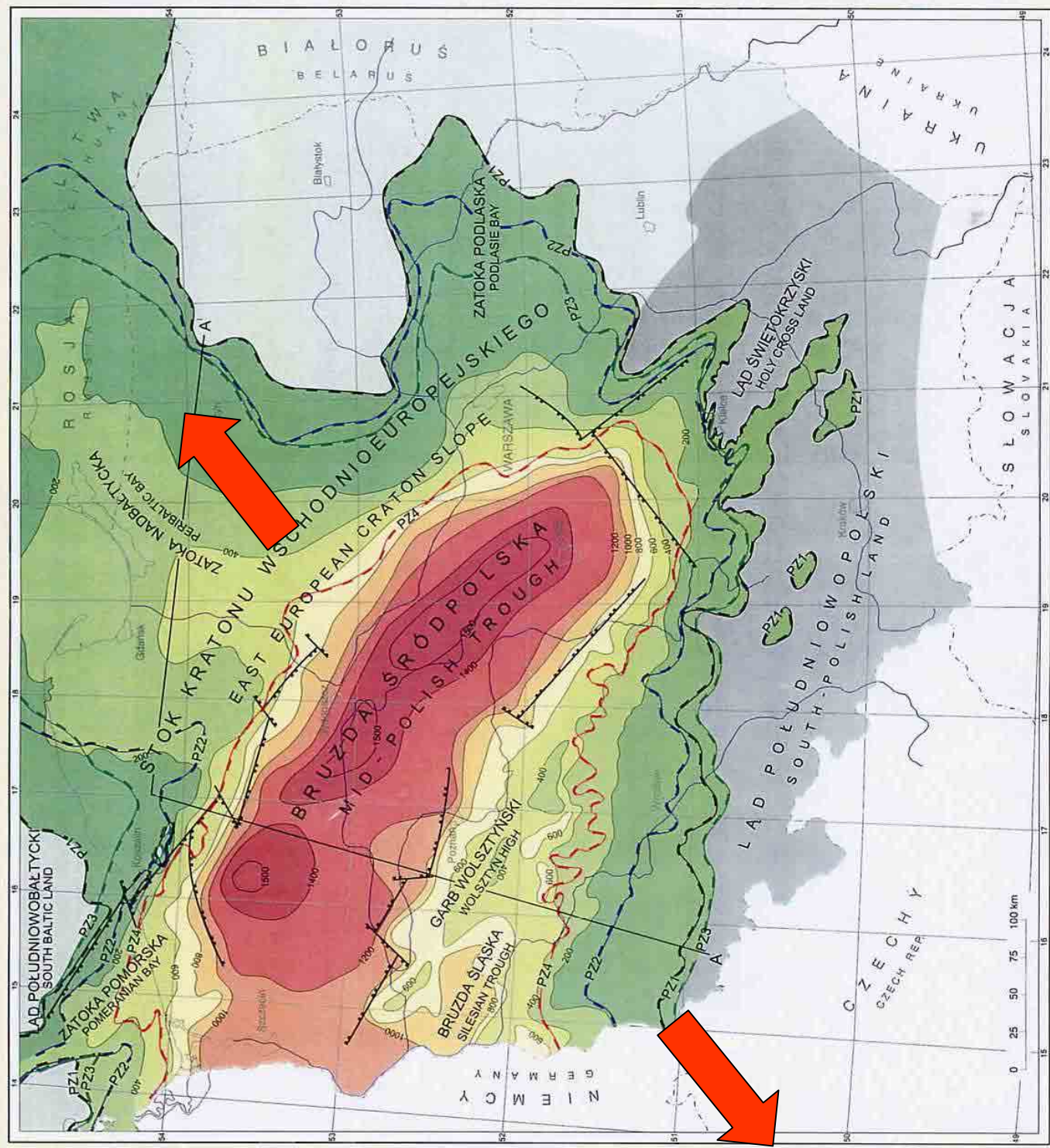


Jędrzej Pokorski

GÓRNY CZERWONY SPĄGOWIEC
podgrupa Drawy i Noteć
MIAŁSZOŚĆUPPER ROTLIEDEND
Drawa and Noteć sub-Group
THICKNESS

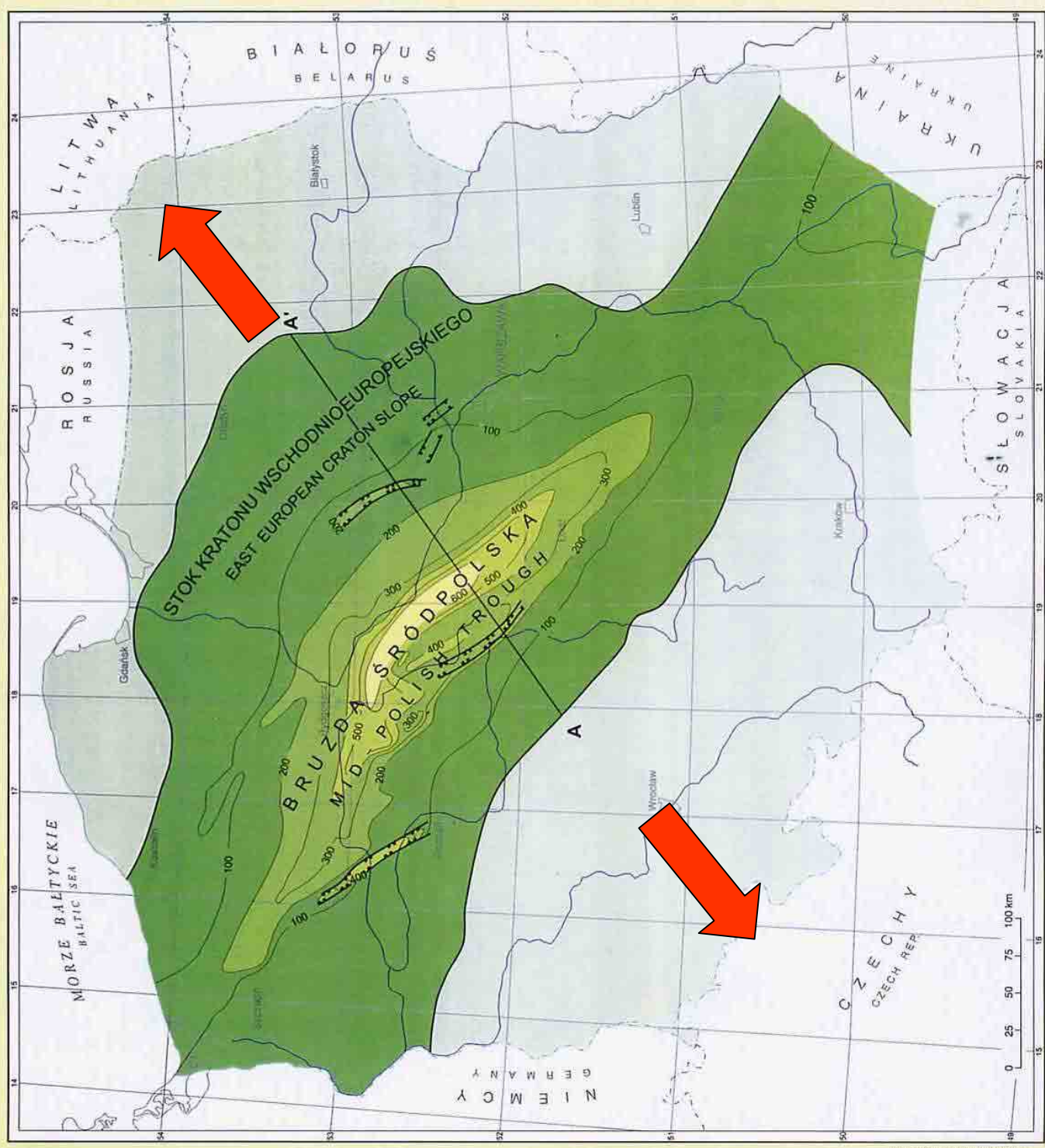


Ryszard Wagner

**CECHSTYN
MIAŁZSZOŚĆ
ZECHSTEIN
THICKNESS**


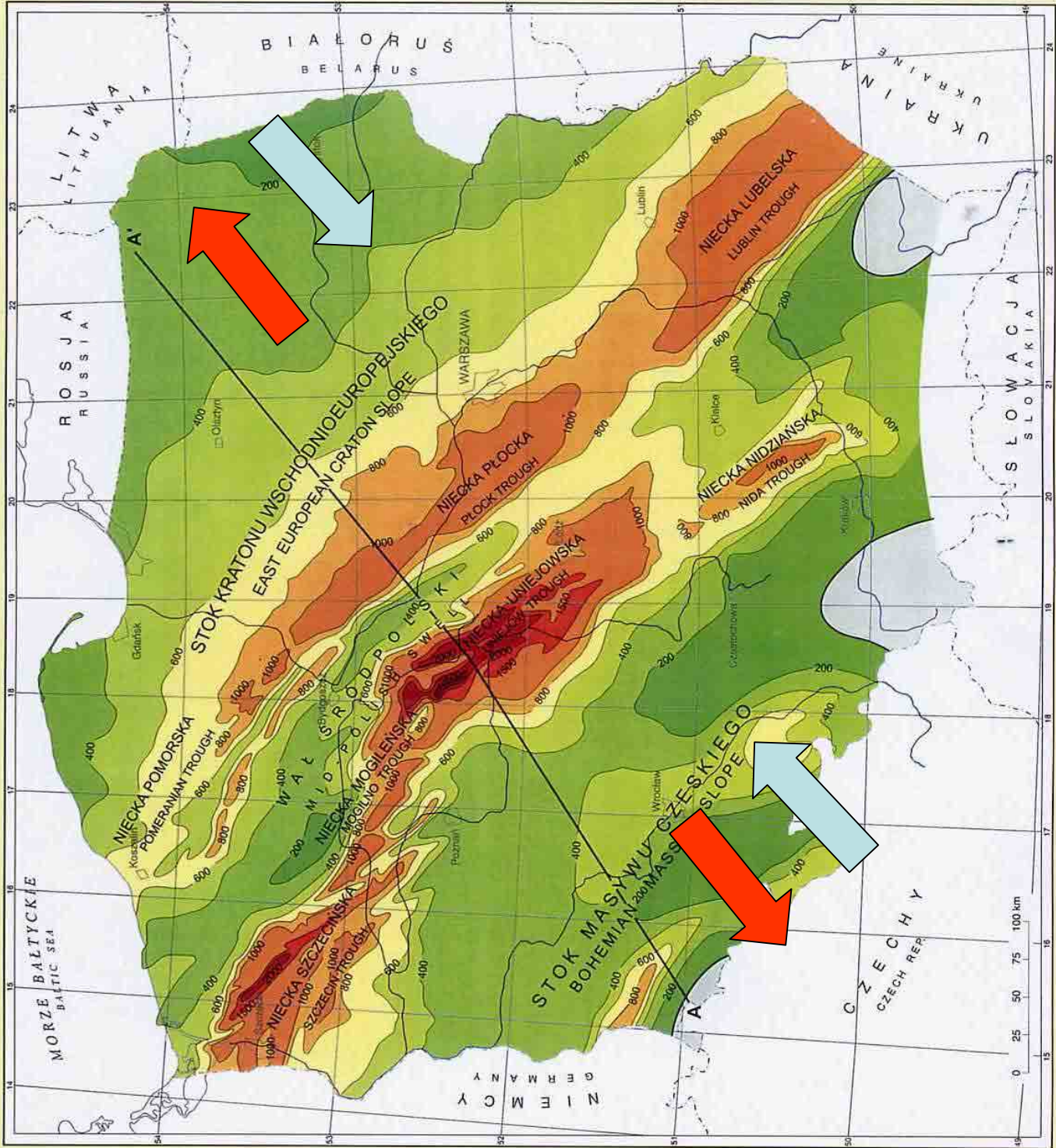
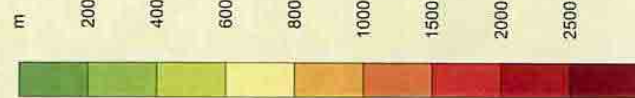
Krzysztof Leszczyński

**KREDA DOLNA
(BEZ DOLNEGO BERIASU
I GÓRNEGO ALBU)
MIĘSZKOŚĆ**
**LOWER CRETACEOUS
(EXCLUDING LOWER BERIASIAN
AND UPPER ALBIAN)
THICKNESS**



Krzysztof Leszczyński

**KREDA GÓRNA
(WRAZ Z GÓRNYM ALBEM)
MIĘSZOŚĆ
UPPER CRETACEOUS
(INCLUDING UPPER ALBIAN)
THICKNESS**



KREDA GÓRNA
UPPER CRETACEOUS
STOK MASYWU CZESKIEGO
BOHEMIAN MASSIF SLOPE

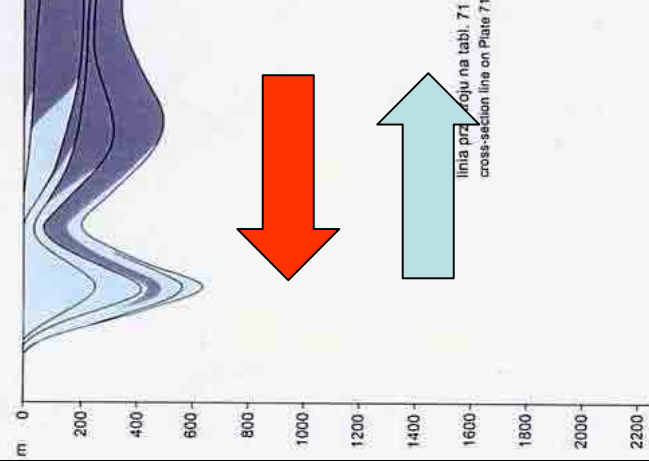
SW

A

BRUZDA ŚRODPOLSKA
MID-POLISH TROUGH
Niecka
uniętowska
Uniejów
Trough

NE

A'



KREDA DOLNA
LOWER CRETACEOUS

SW

BRUZDA ŚRODPOLSKA
MID-POLISH
TROUGH

NE

A'

STOK KRATONU WSCHODNIOEUROPEJSKIEGO
EAST EUROPEAN CRATON SLOPE

0

200

400

600

800

1000

1200

1400

1600

1800

2000

2200

m

0

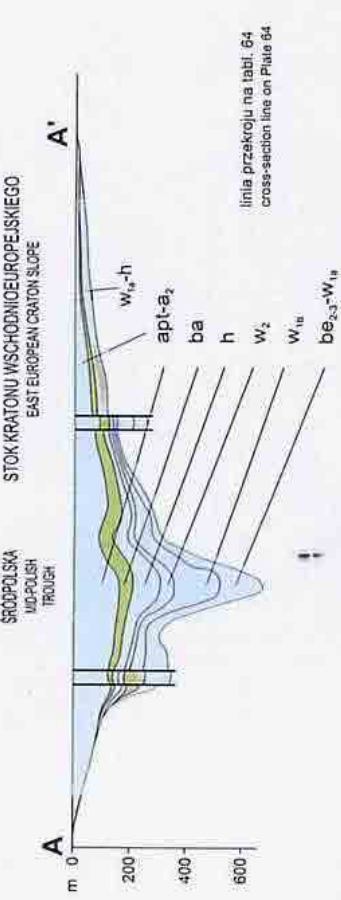
25

50

75

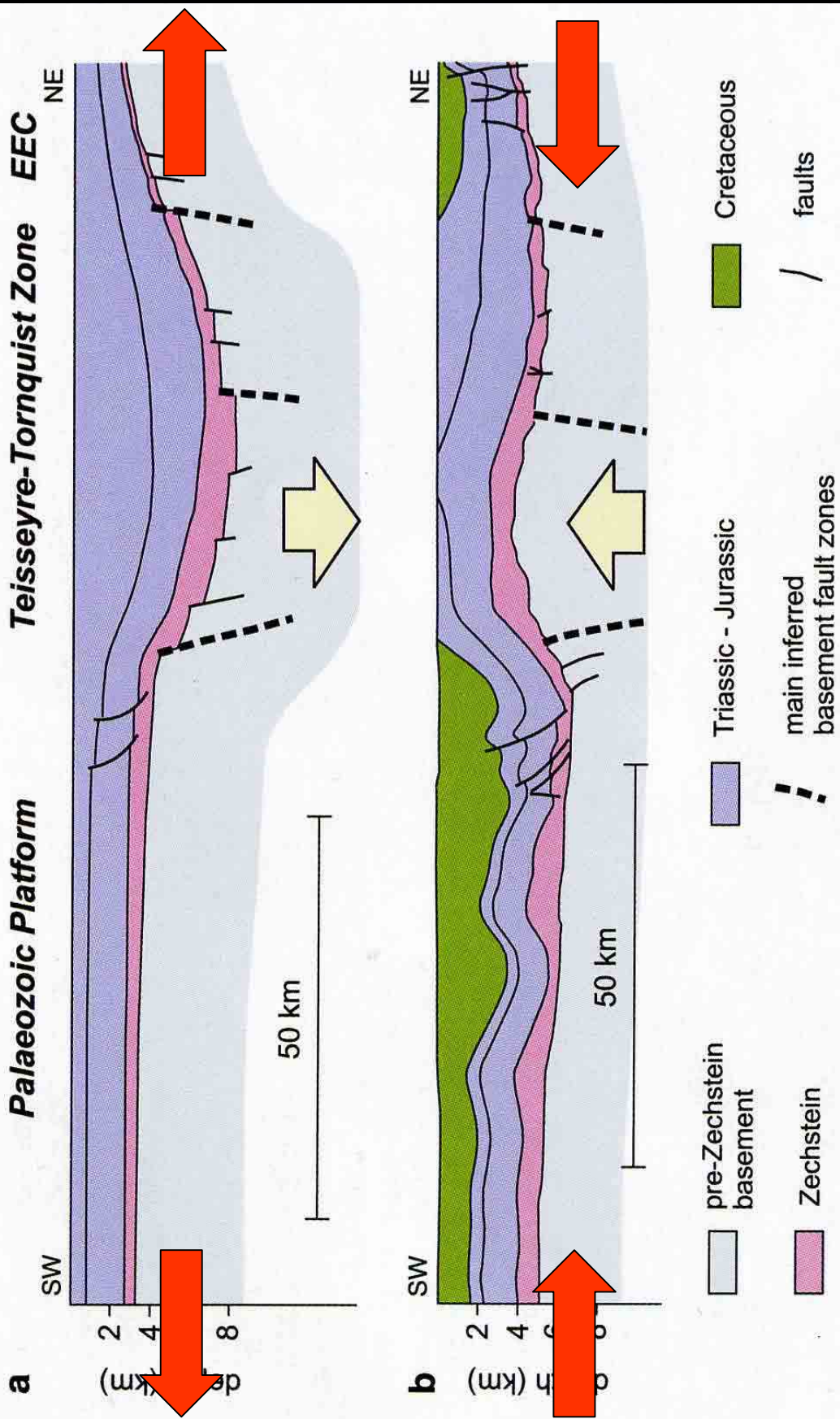
100 km

0



maspuch
Mastrychtian
kamp
Campanian
santon
Santonian
konik
Coniacian
turon
Turonian
alb górnny – cenoman
Upper Albian – Cenomanian
apl. alb śródkowy
Apalian – Middle Albian
barrem
Barremian
holeryw
Hauterivian
walanżyn górnny
Upper Valanginian
walanżyn dolny (część dolna) – holeryw
upper Lower Valanginian – Hauterivian
holeryw / gołomy (część dolna) – holeryw
lower Lower Valanginian – Hauterivian
berrias środkowy / gołomy (Razan) – walanżyn dolny (część dolna)
Middle and Upper Bernissian (Riasanian) – lower Lower Valanginian

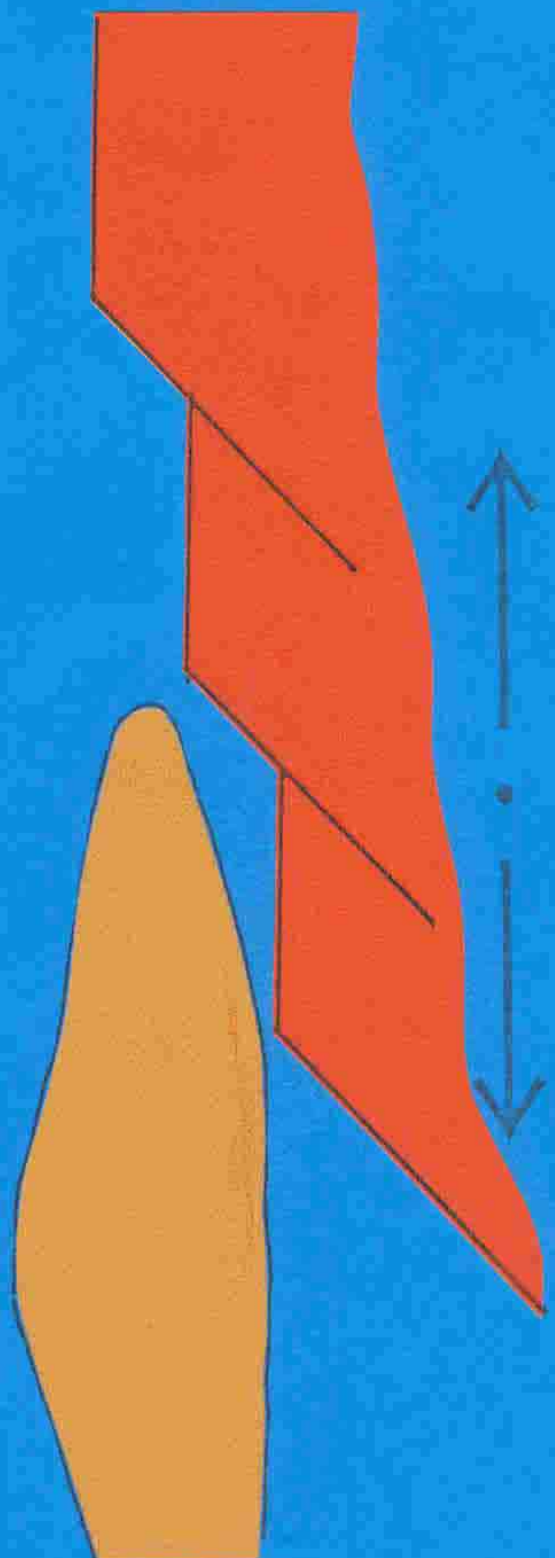
Kompresyjna interpretacja inwersji bruzdy Śródpolskiej



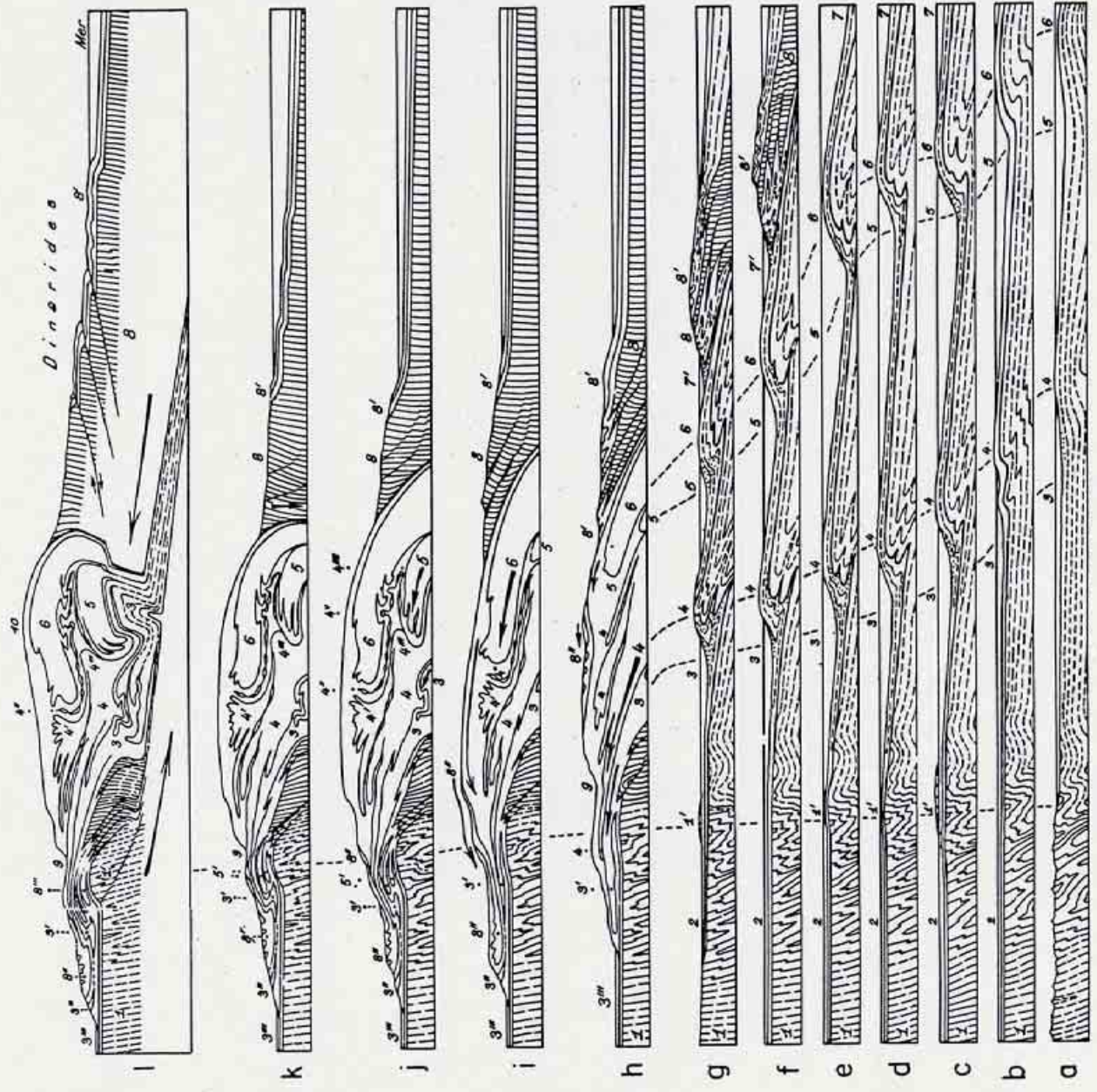
Niemogość
przekazywania
nacisku od strony
orogenu alpejskiego

1.
Niemogżność
przekazywania nacisku
poprzez podłożę
zapadiska przedgórskiego

zapadlisko
przedgórskie
pasmo faldowe

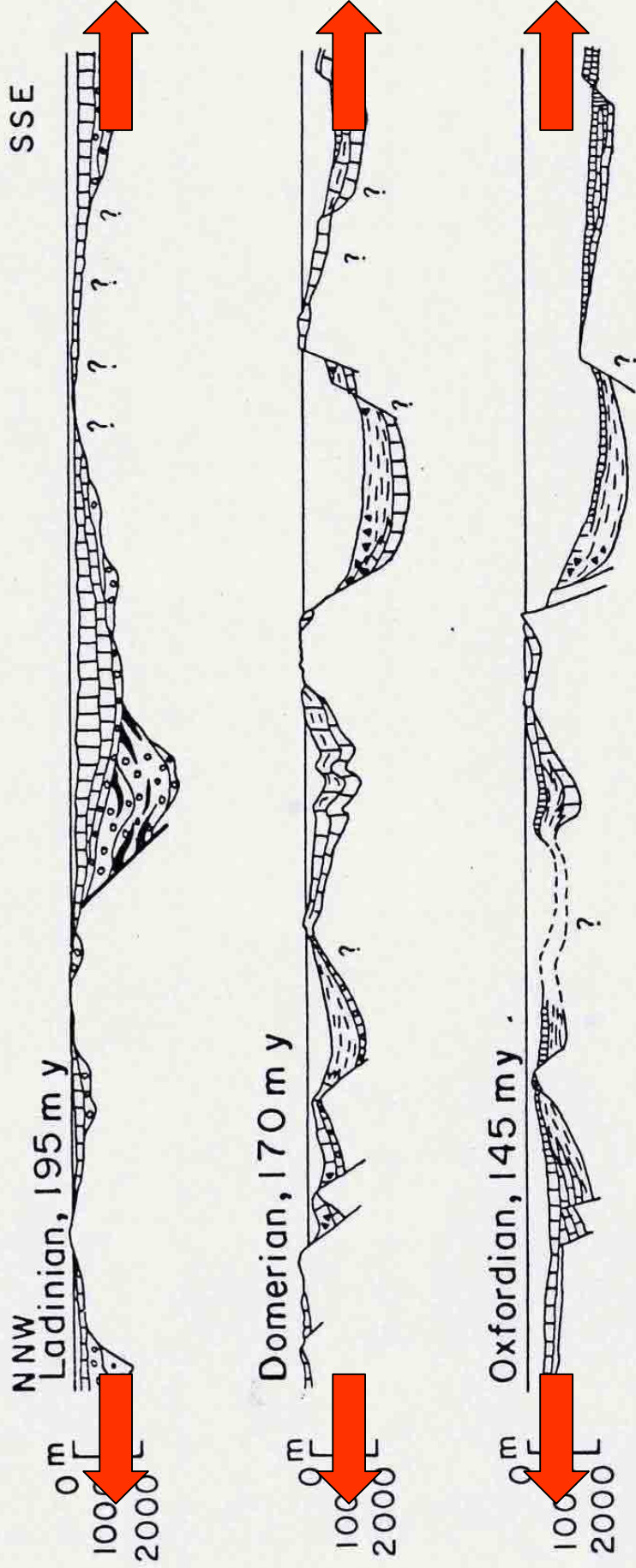


2. Niemogość przekazywania nacisku poprzez geosyntlinę

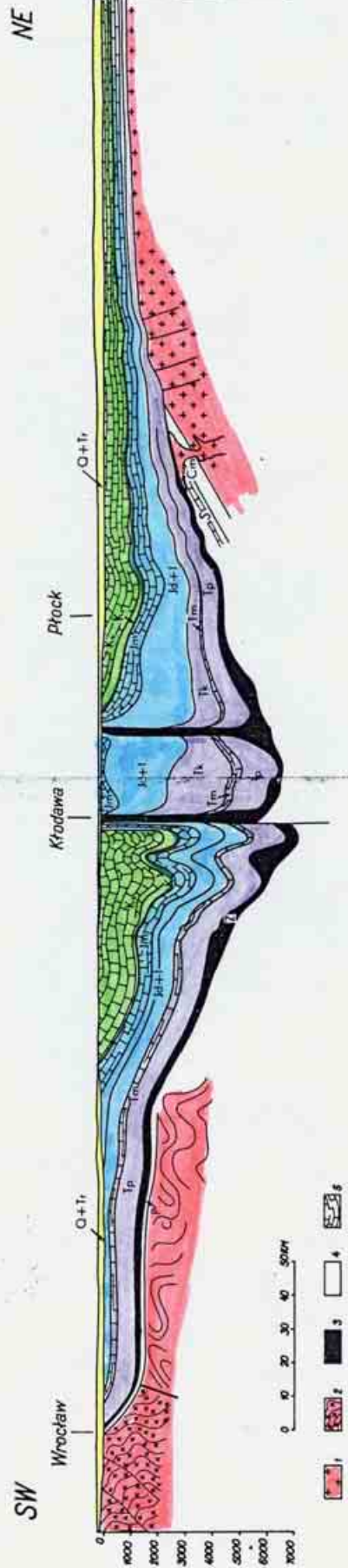


Trümpy 1965

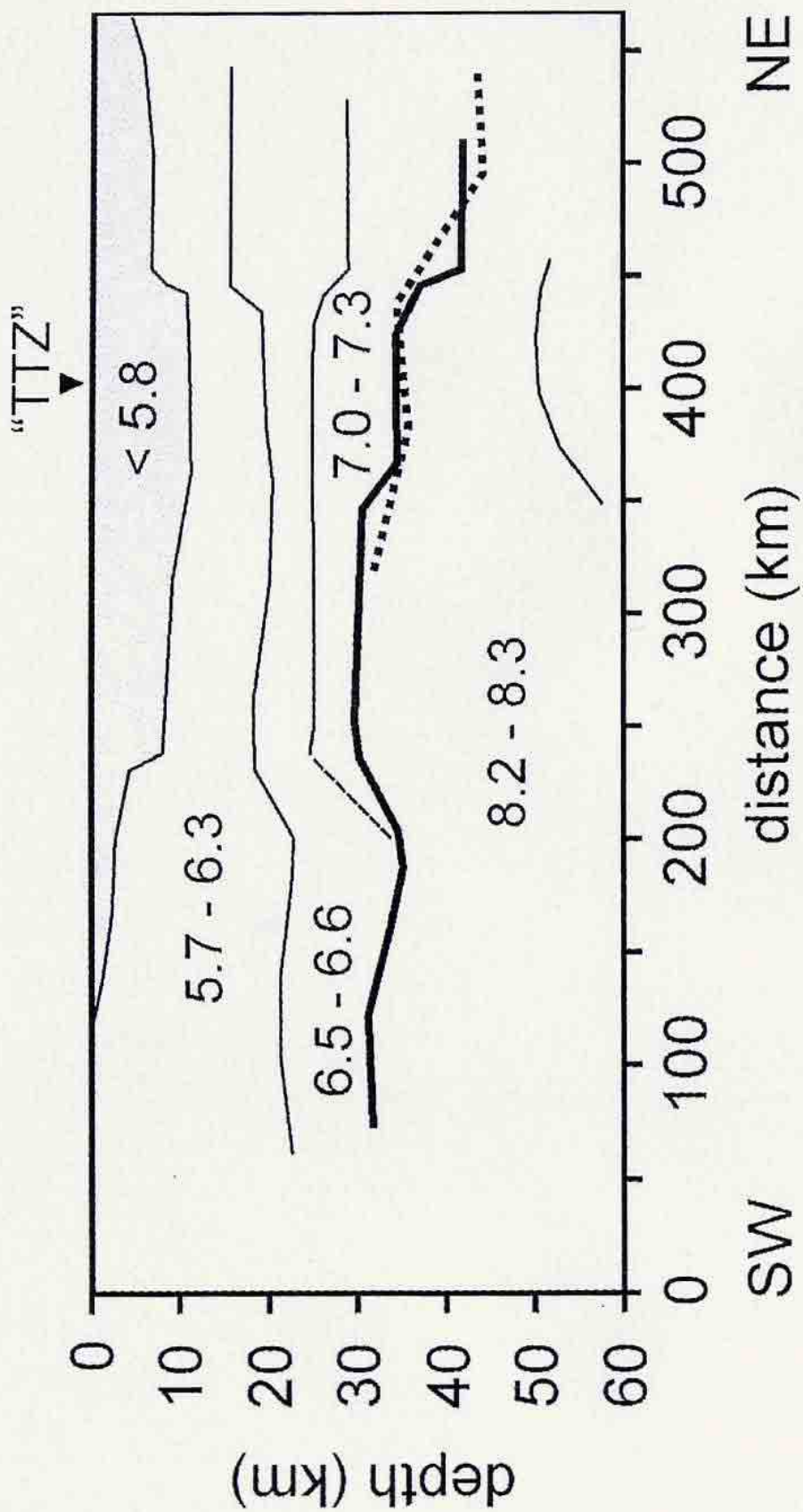
VIEWS OPPOSED TO NAPPE CONTINUITY OR "CYLINDRISM"



**Niemogliwość
przekazywania nacisku
poprzez niecki sąsiadujące
z wałem śródpolskim
i poprzez ich podłożę**



(a) "LT-7" profile



Dośrodkowa tektonika grawitacyjna głębokich basenów depozycyjnych

Van Bemmelen 1954

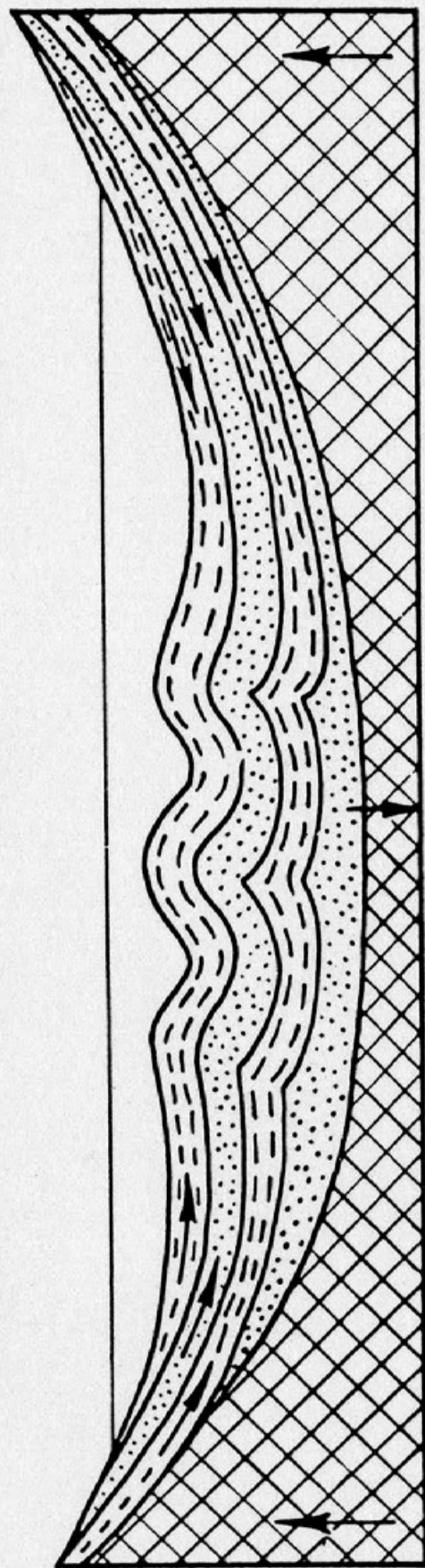
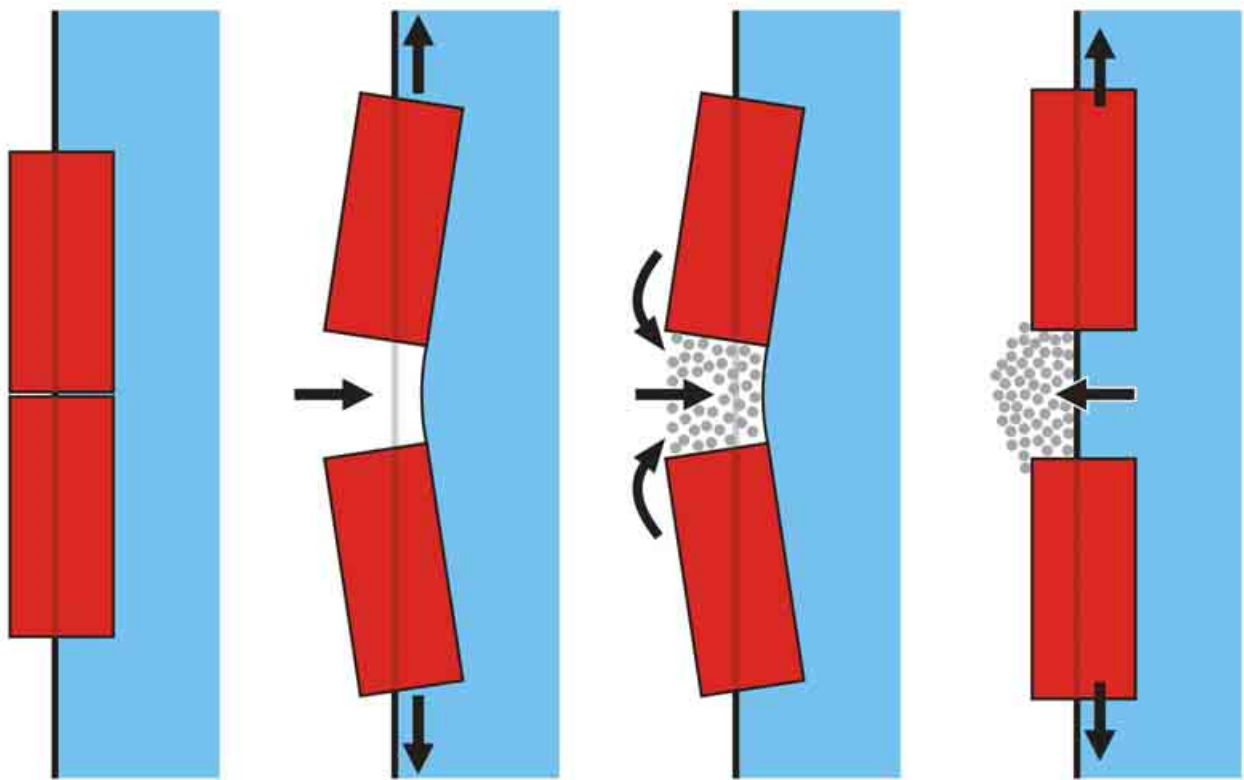
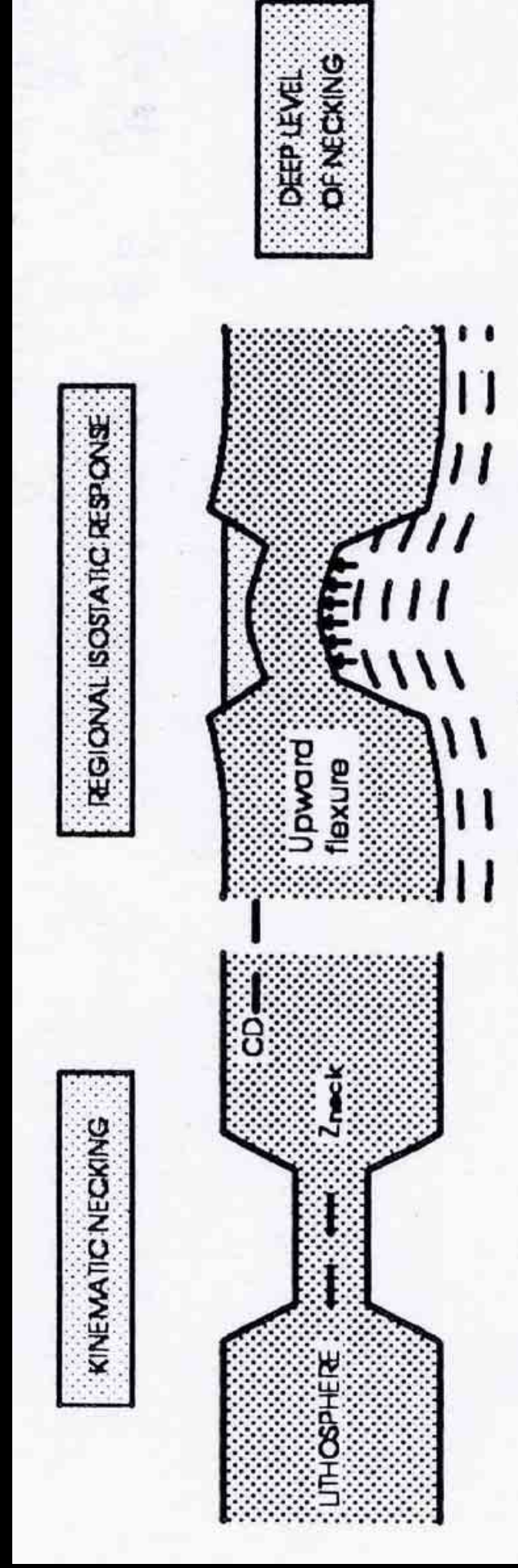


FIG. 849 To illustrate epidermal 'compressive settling' in a subsiding basin. The length of the section is of the order 100 km (*R. W. van Bemmelen*)

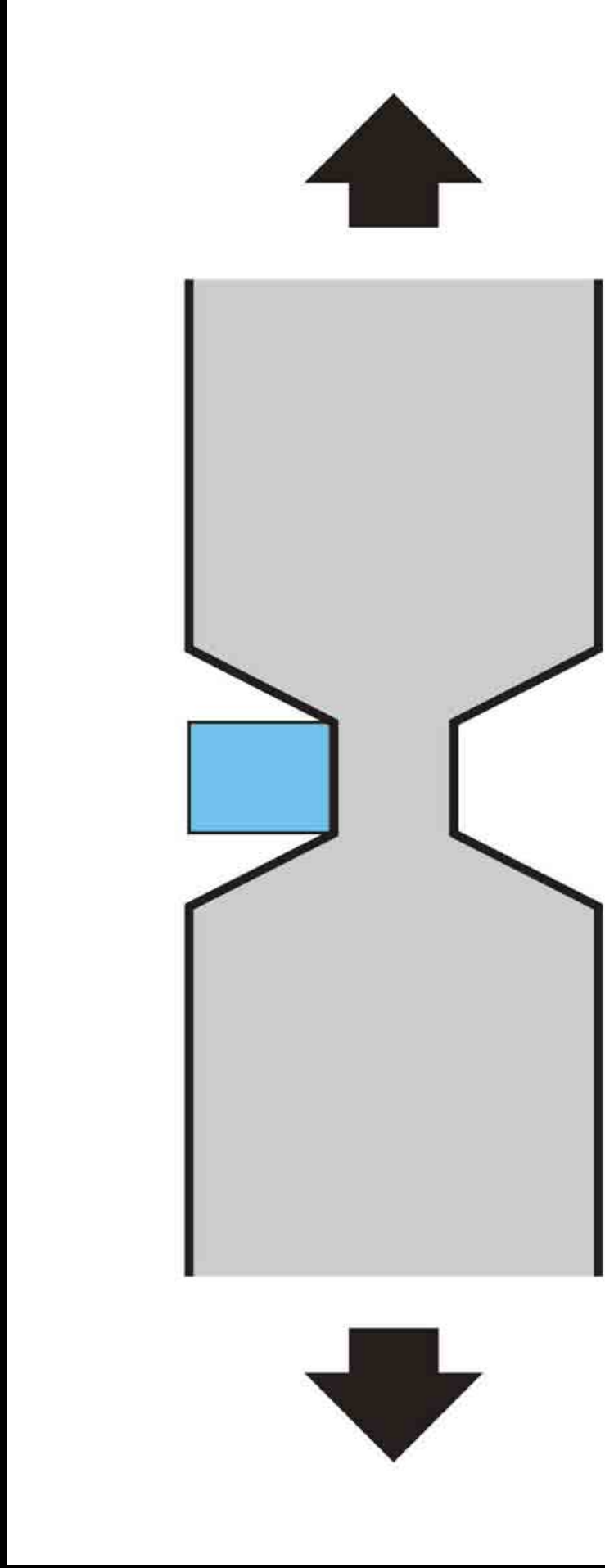
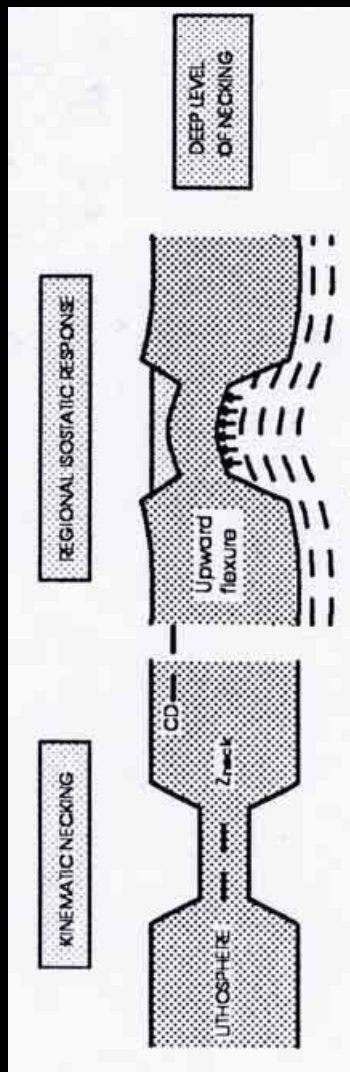
**Ryftowo - diapirowy
mechanizm inwersji
basenowej**

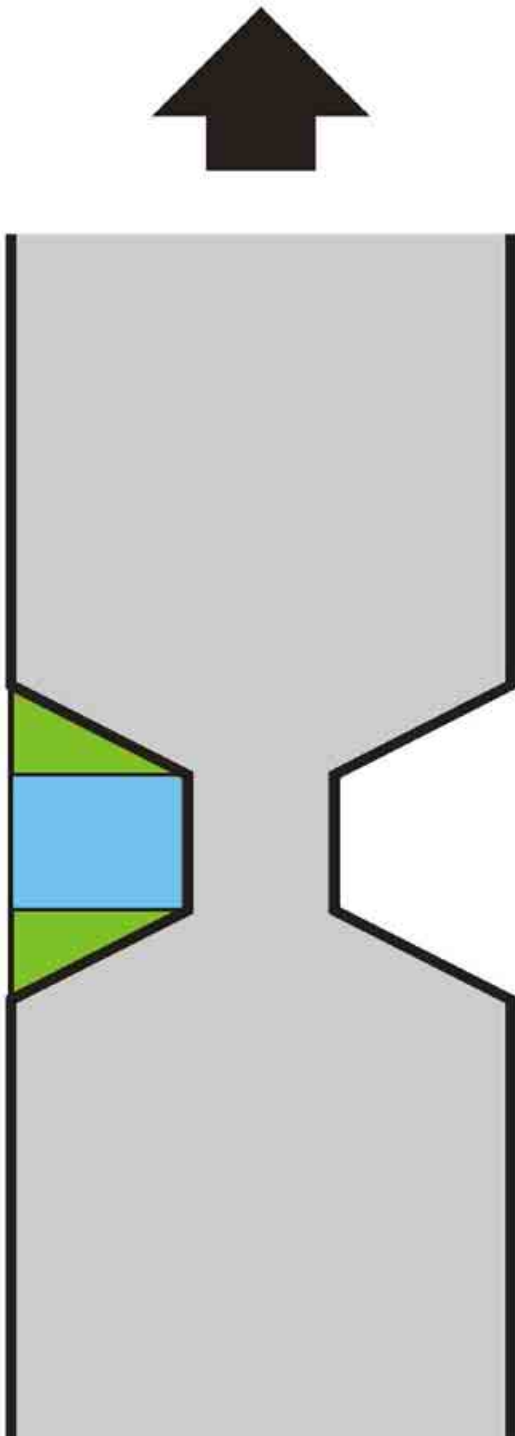
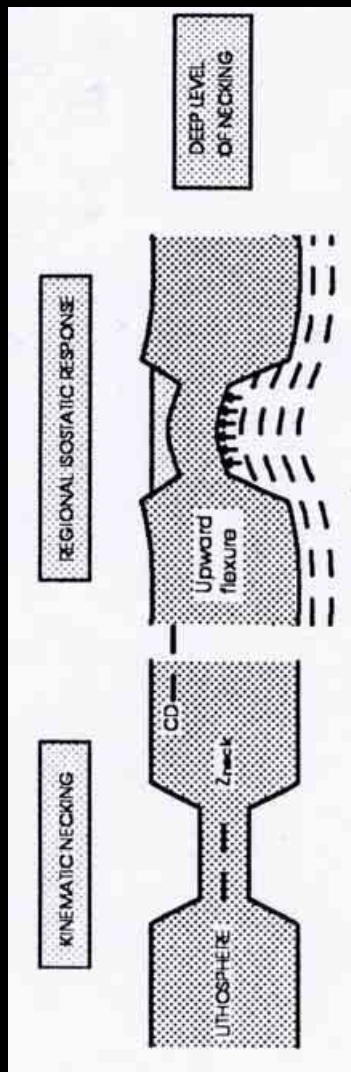


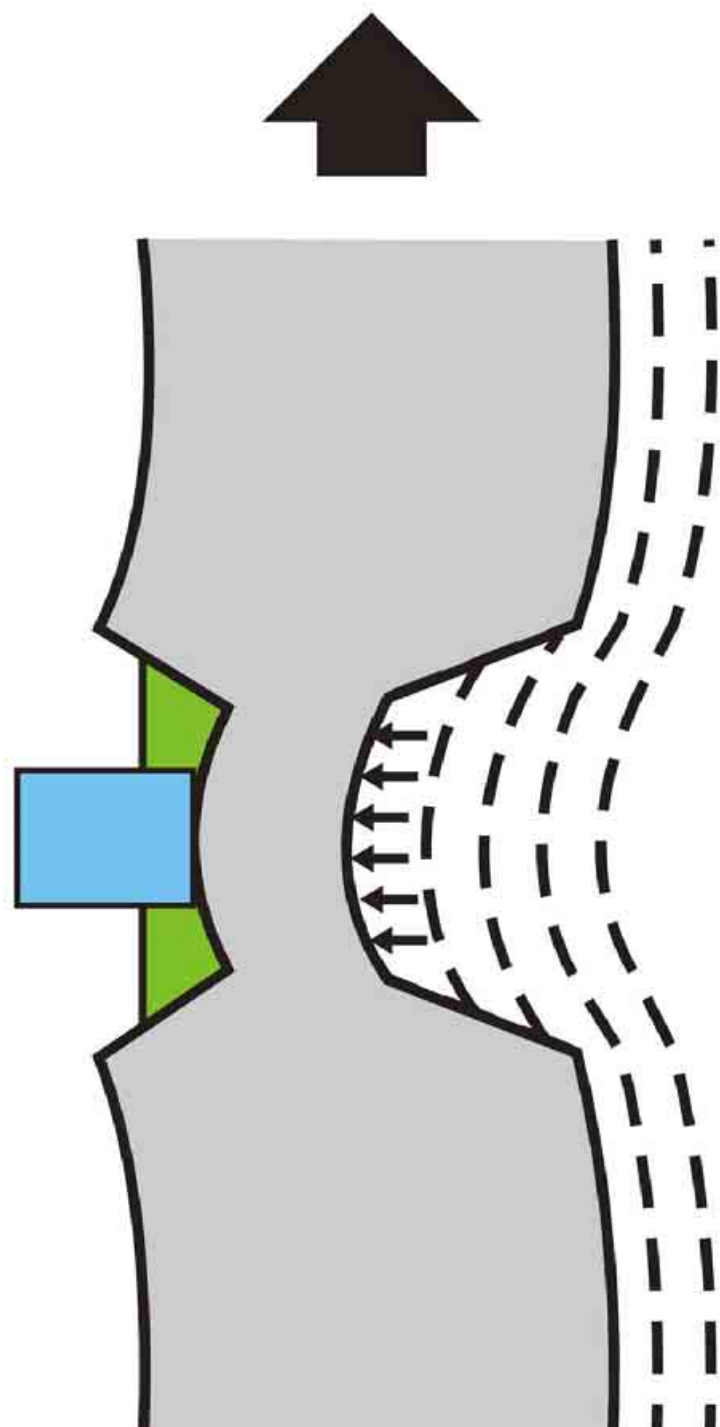
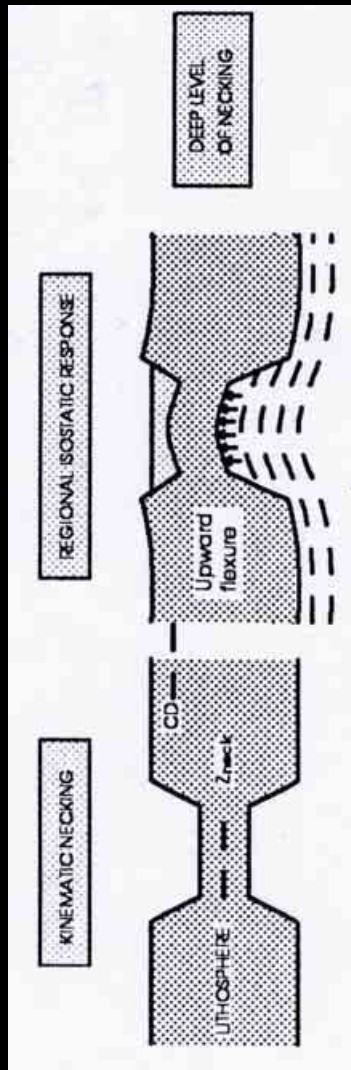
Przewężenie szyjkowe litosfery (Lithospheric necking)



Kooi, Cloetingh & Burrus 1992



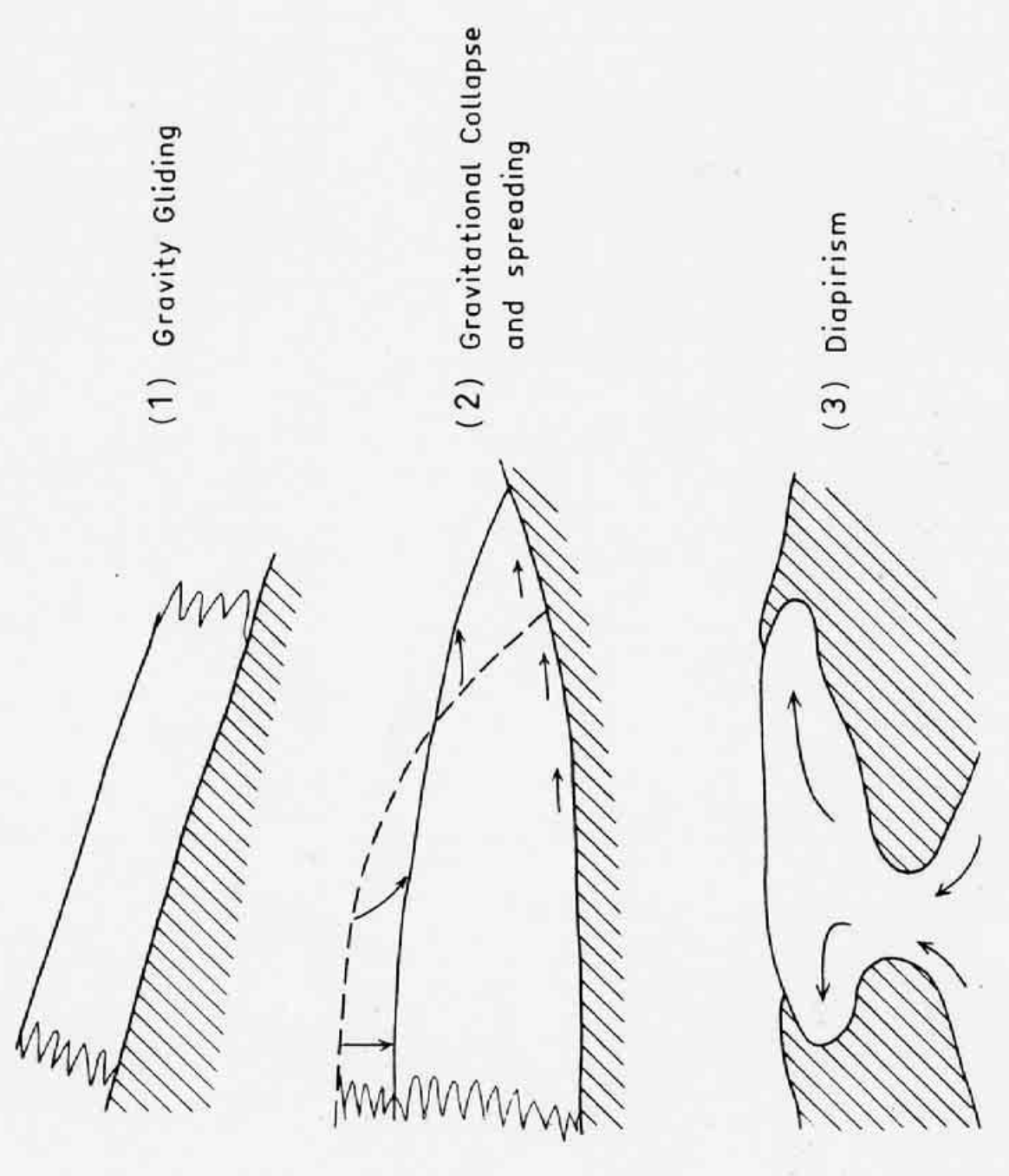




Czyli

Odsłodkowa
tektonika
grawitacyjna
inwersji baseowej

**Spreading grawitacyjny
wypiętrzanej partii
osiowej basenu
jako przyczyna
przejawów kompresji
na jej obrzeżach**



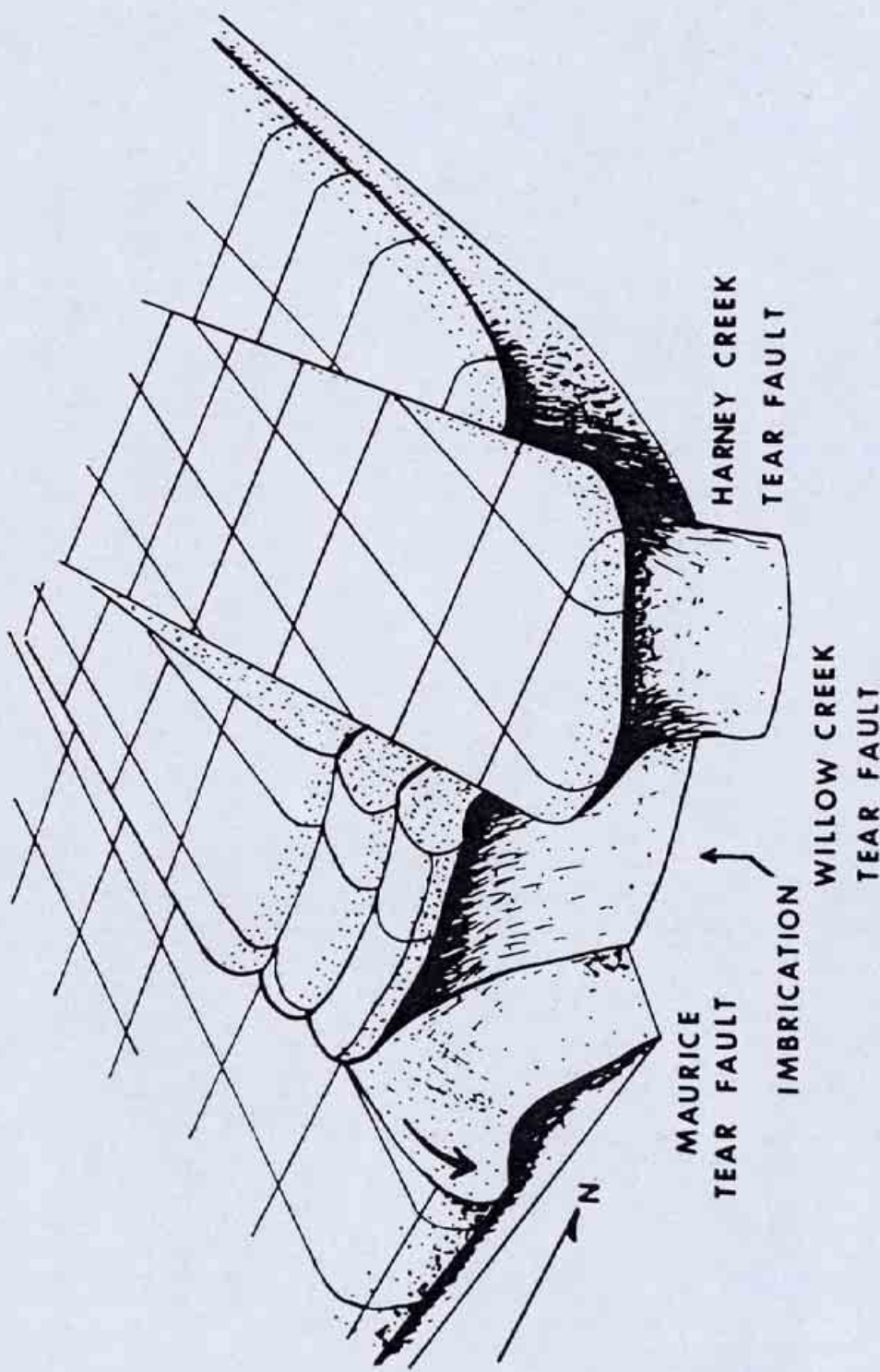
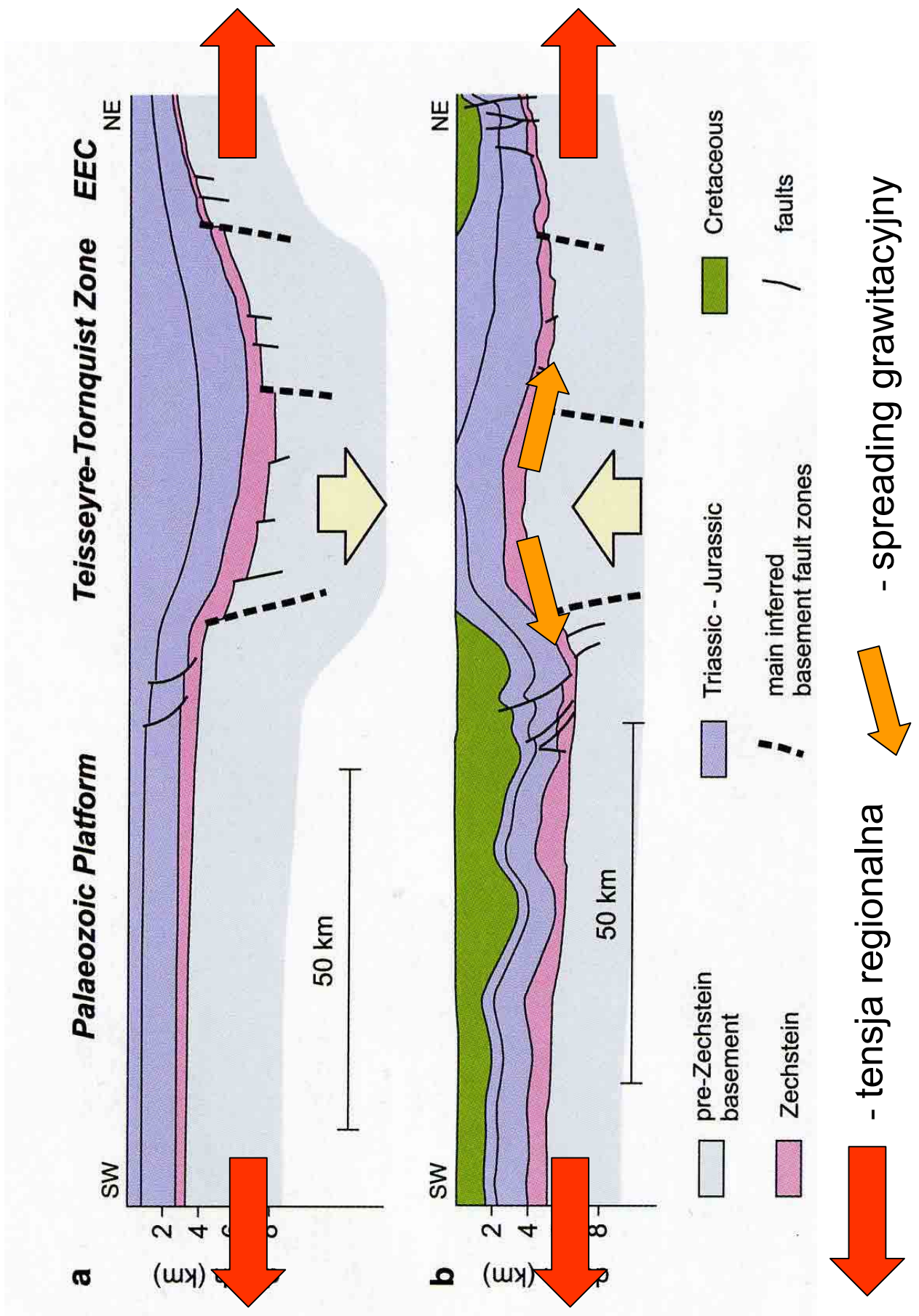


FIG. 7 Block diagram showing relationship of tear faults and imbrication at the northeast corner of the Beartooth crustal block.

Reinterpretacja schematu Mazura i współpratorów kompresyjnej inwersji bruzdy śródziemskiej



**Deformacja
masywu czeskiego
zgodna z rozciąganiem
basenu polskiego**

**Plutonizm
granitoidowy
jako wskaźnik tensji**

JOURNAL OF GEOPHYSICAL RESEARCH, VOL. 97, NO. B7, PAGES 11,011–11,024, JULY 10, 1992

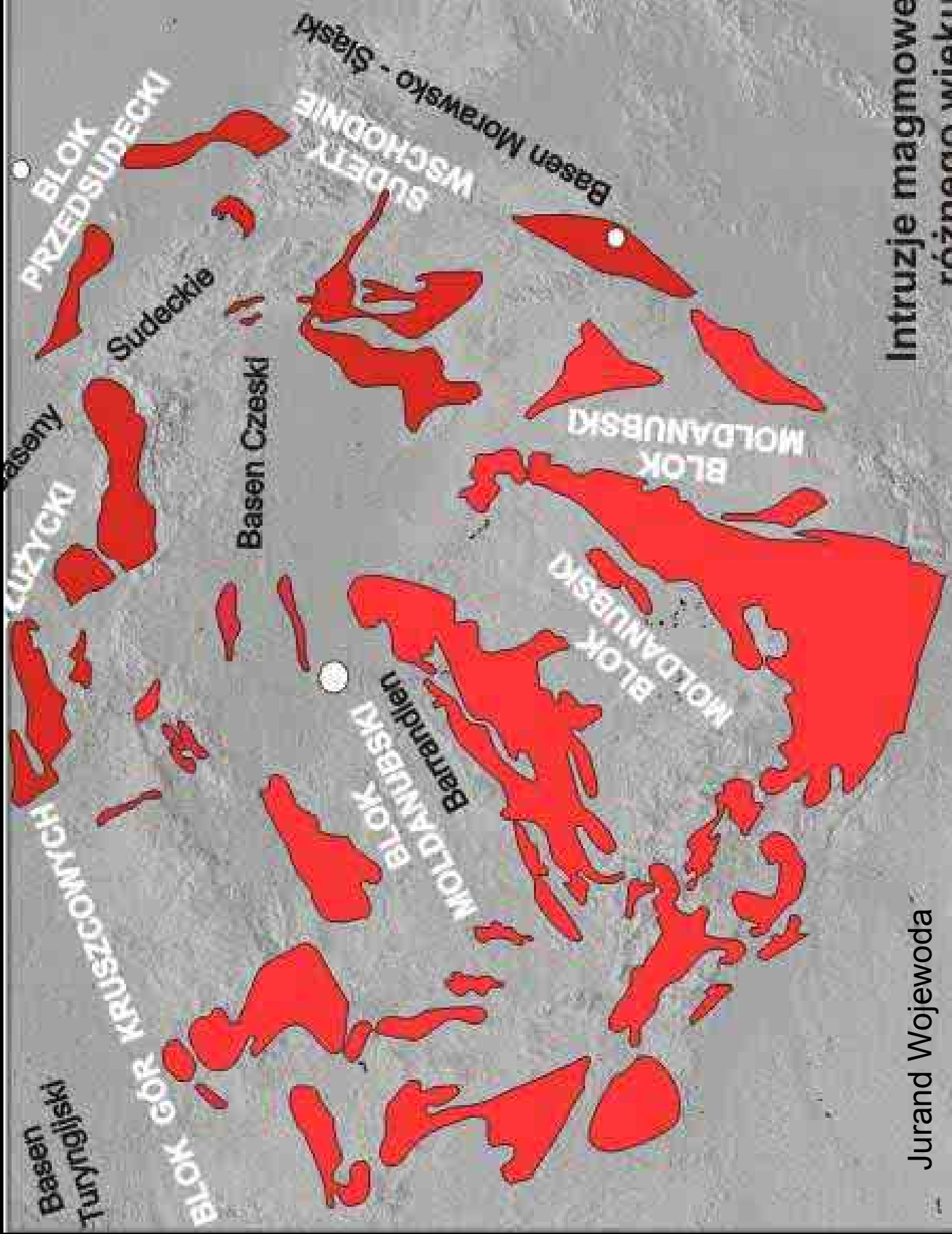
Evidence for the Generation of Juvenile Granitic Crust During Continental Extension,
Mineral Mountains Batholith, Utah

DREW S. COLEMAN¹ AND J. DOUGLAS WALKER

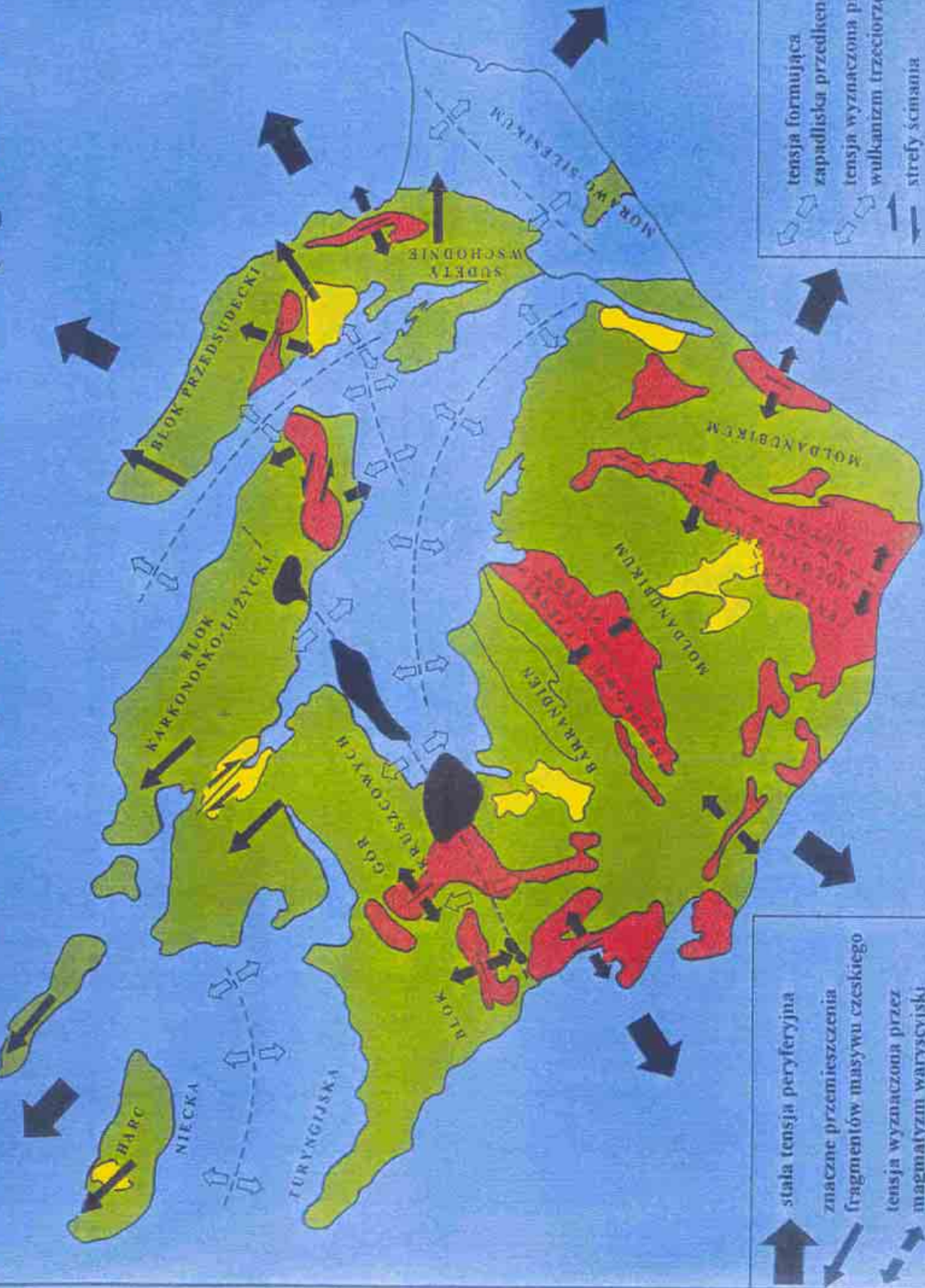
Department of Geology, University of Kansas, Lawrence

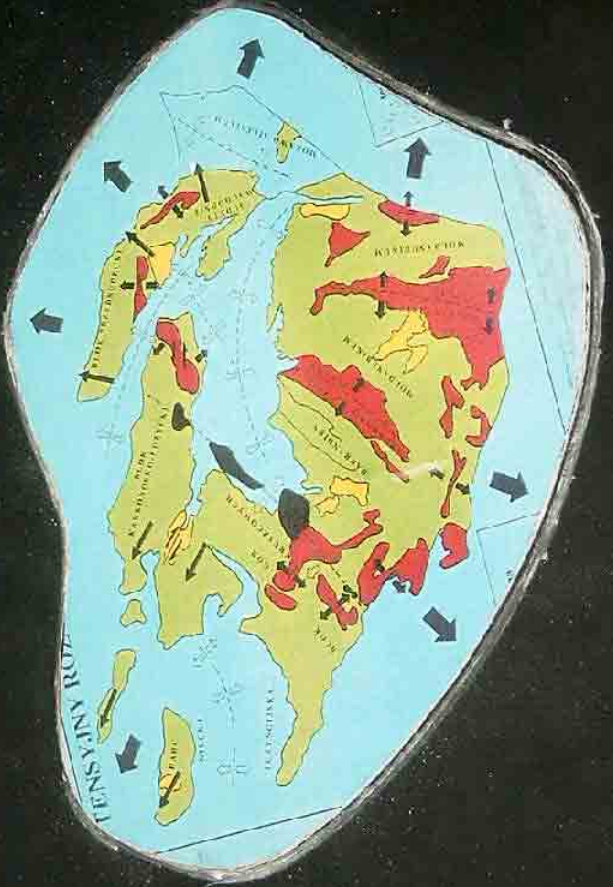
Intruzje magmowe różnego wieku

Jurand Wojewoda

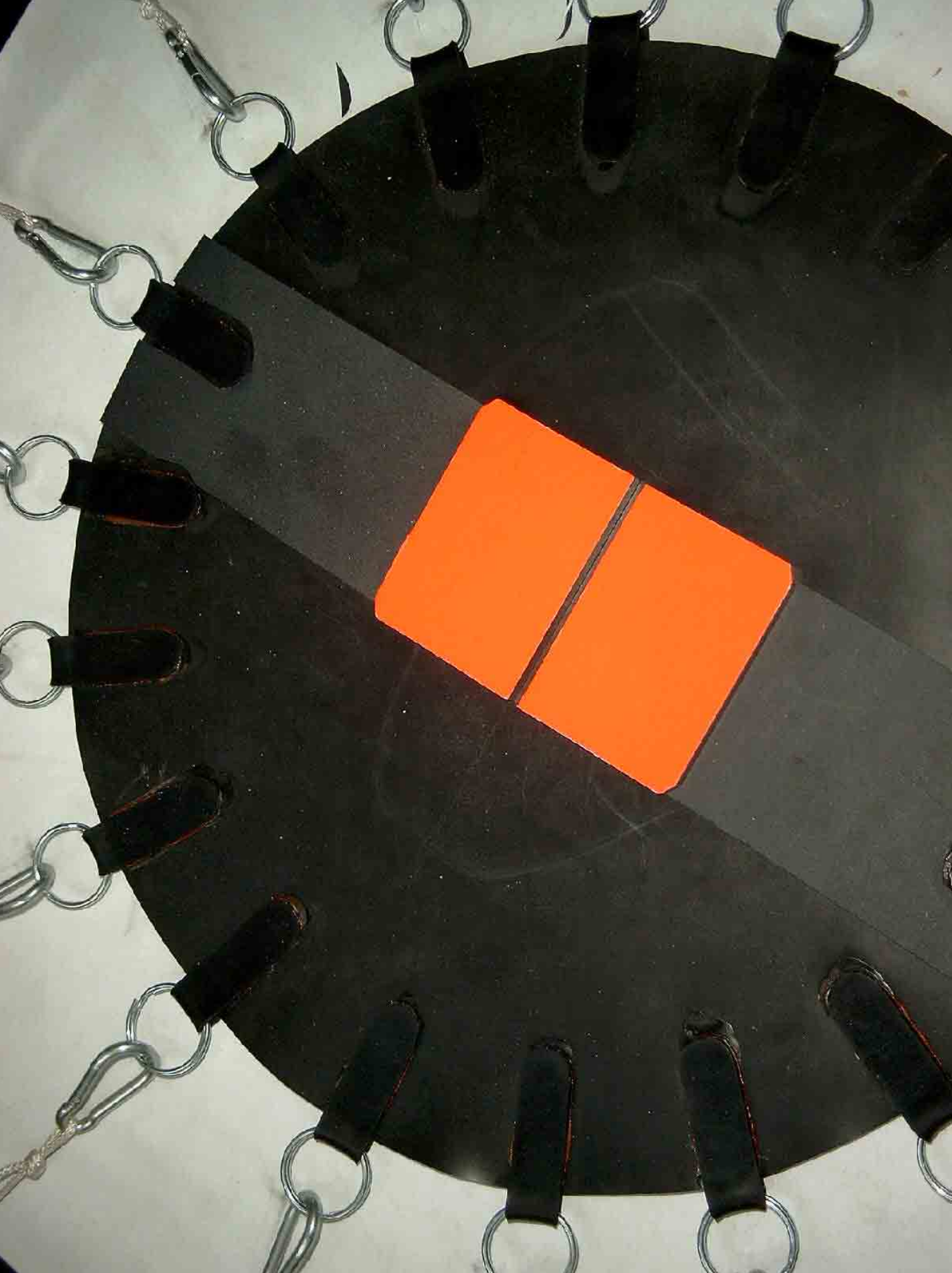


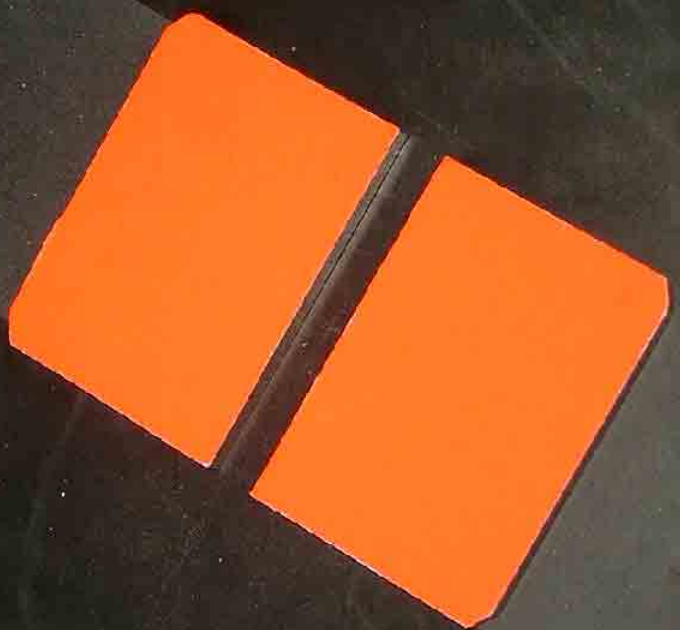
TENSJY JNY ROZWÓJ MASYWU CZEŠKIEGO (wg. Koziar 1993)

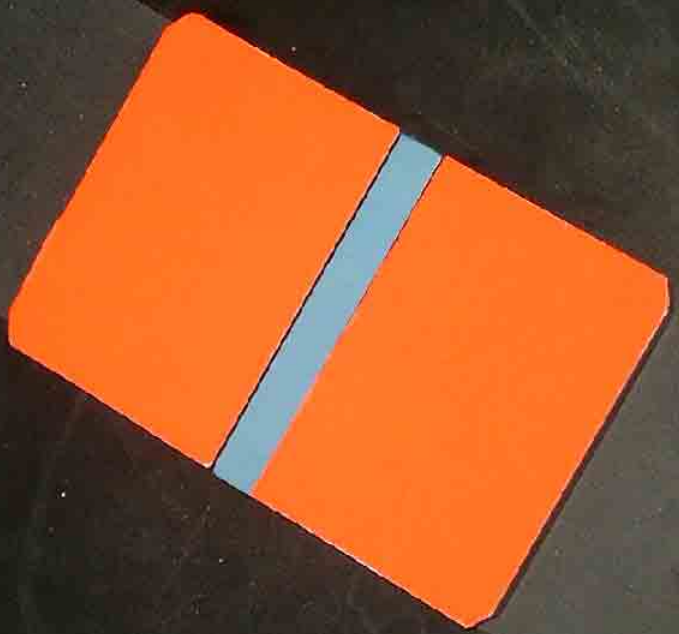


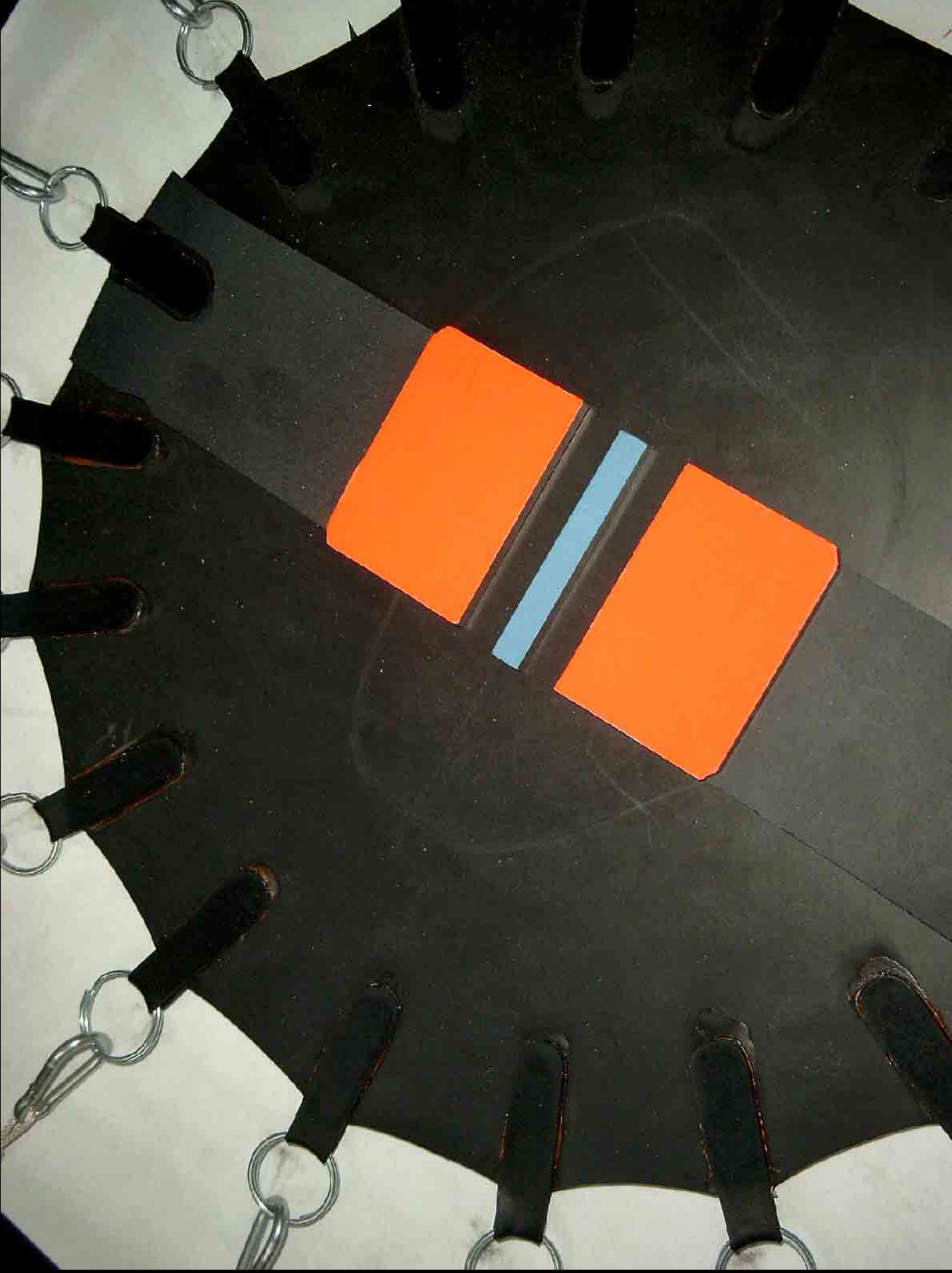


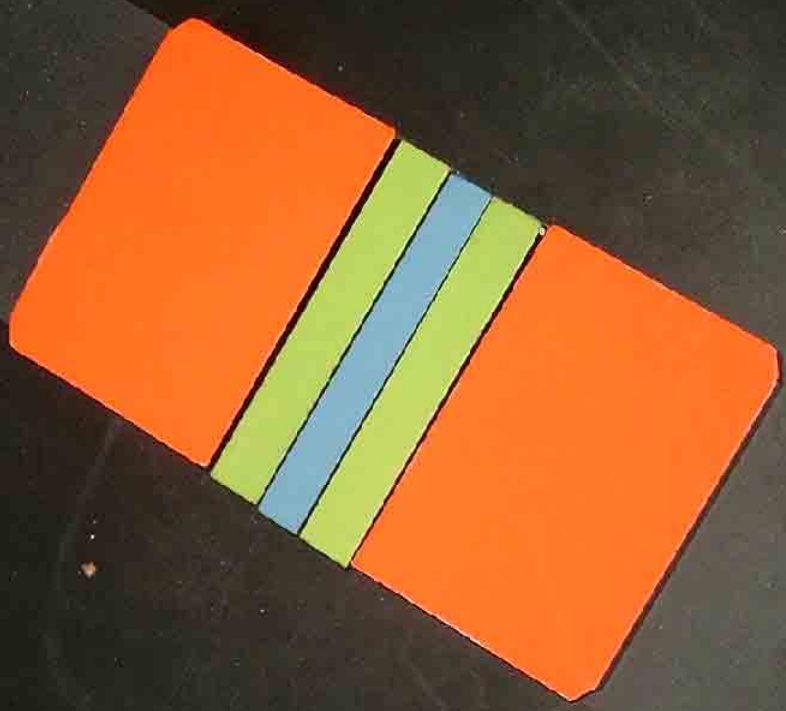


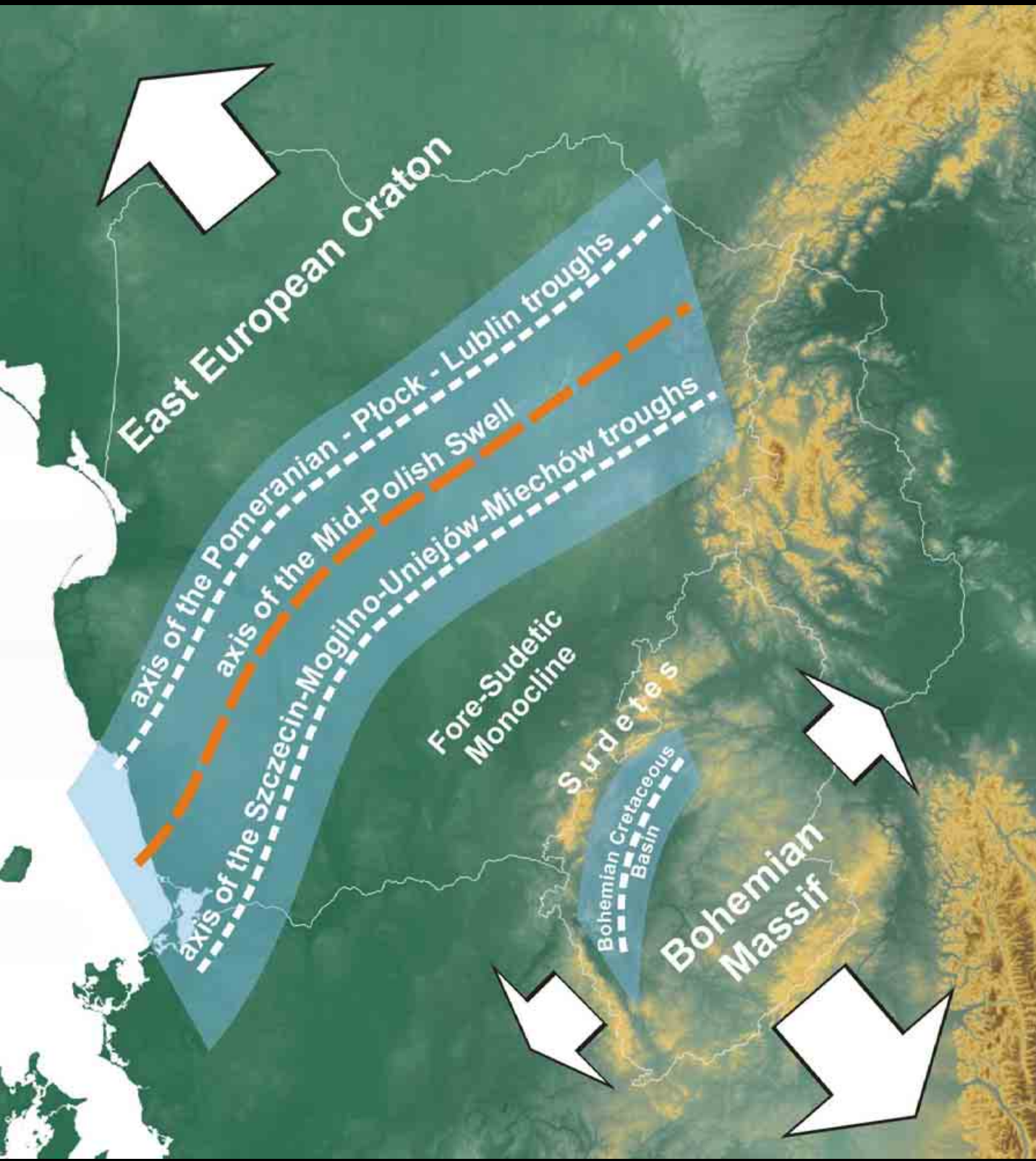






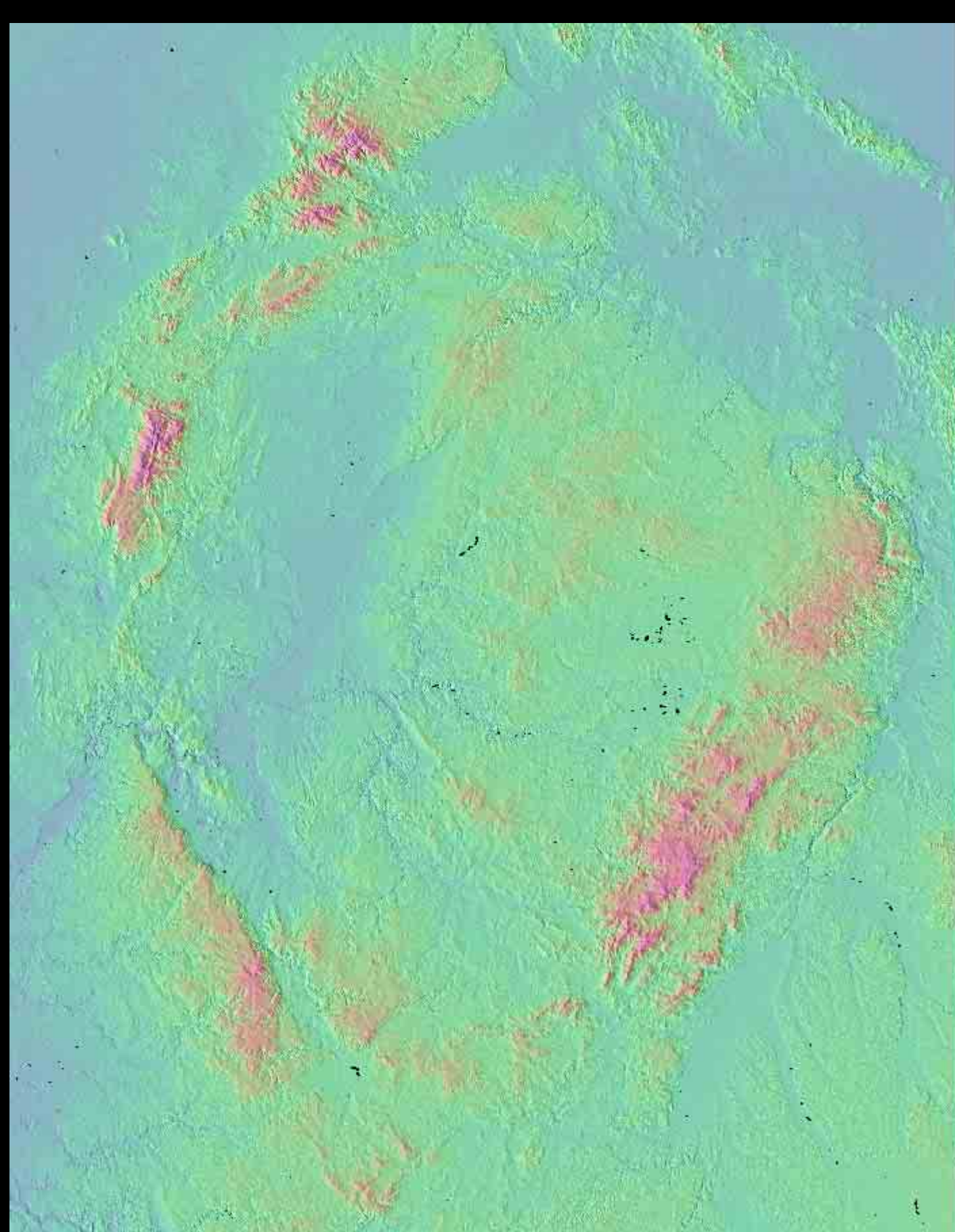






**Thank you
for your attention**

Ryftowa tektonika obrzeżenia masywu czeskiego



Weissel
&
Karner
1989

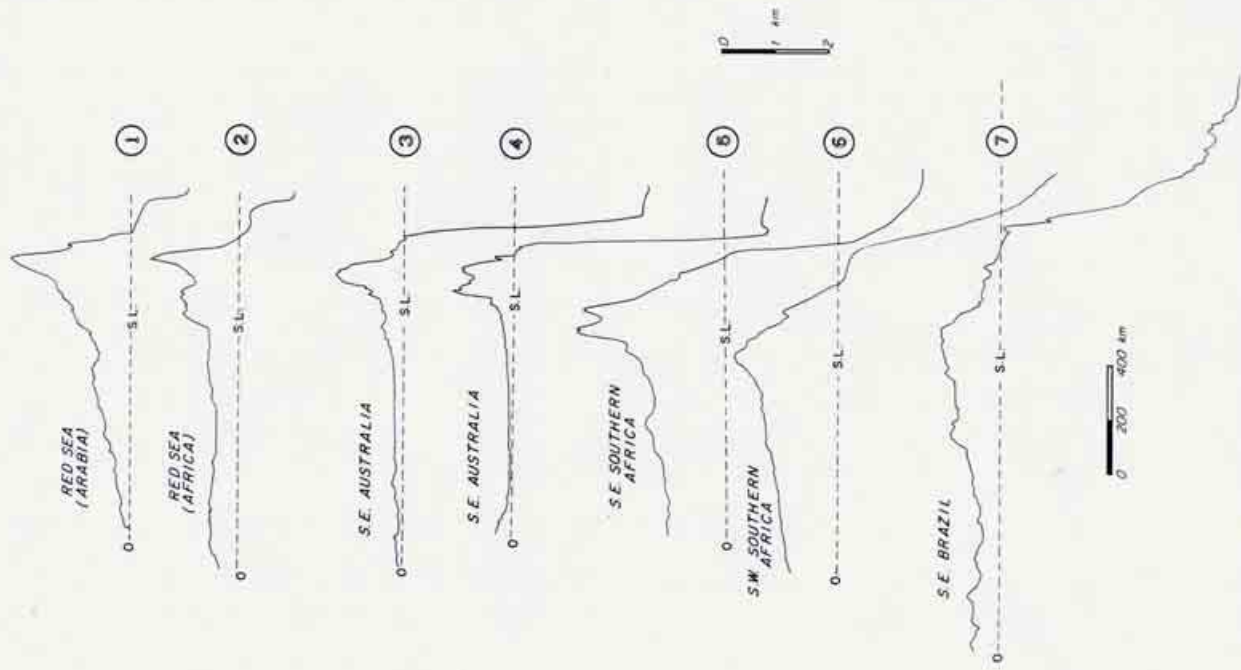
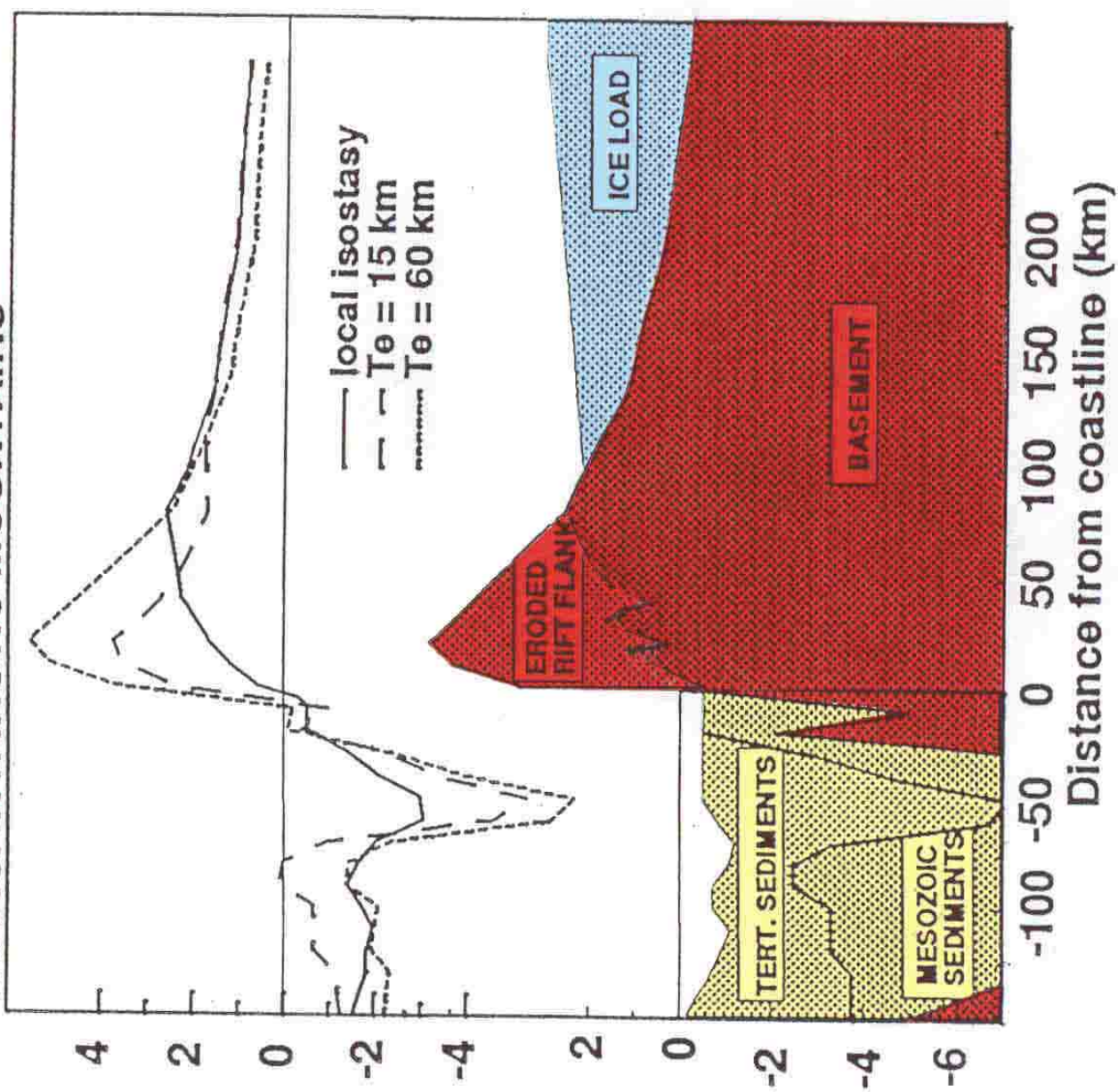
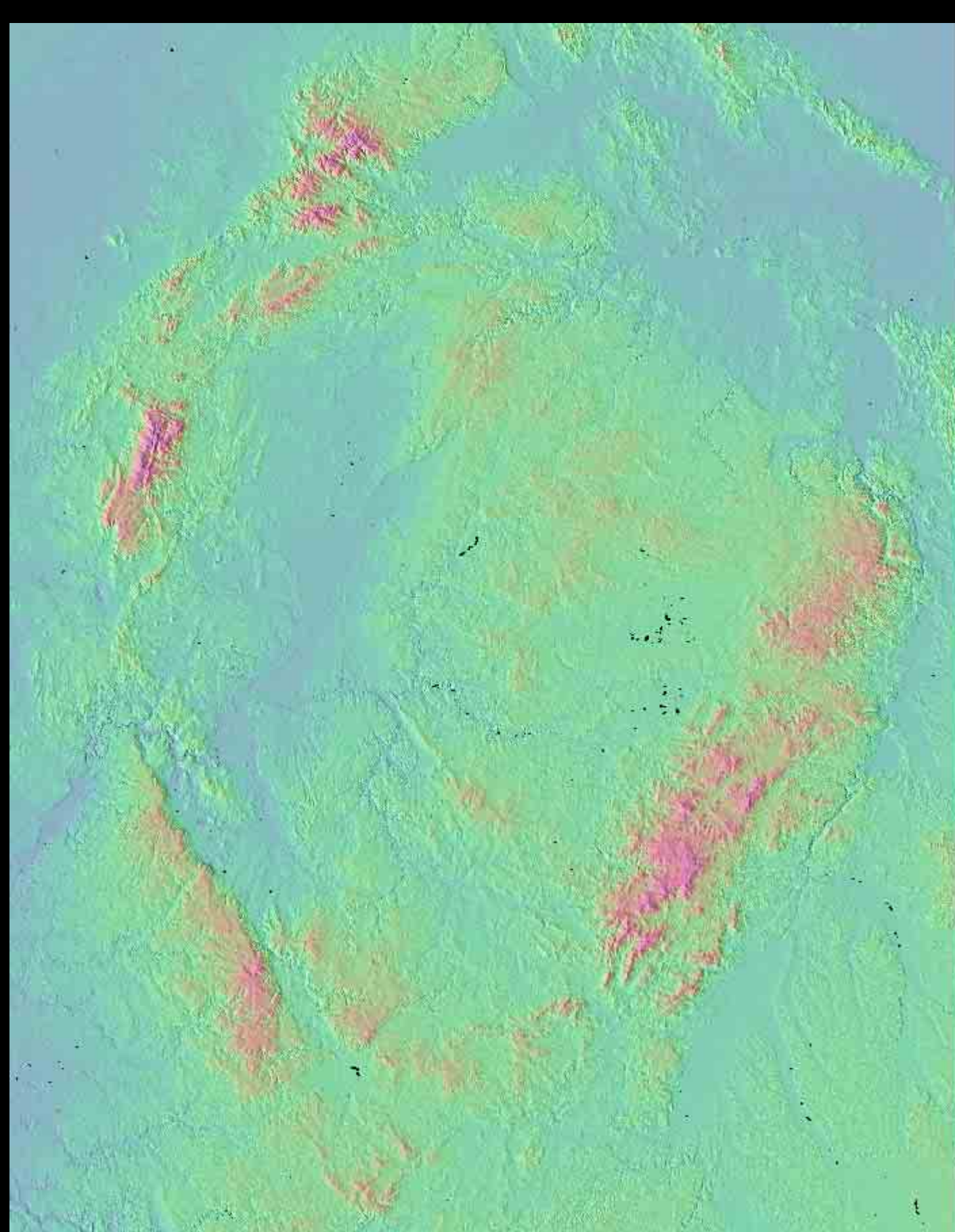


Fig. 1. Elevation profiles across selected passive margins of the Gondwana continents. These profiles were constructed from global $5 \text{ arc min} \times 5 \text{ arc min}$ average elevations [National Geophysical Data Center, 1985]. Note that uplifted flanks lie adjacent to ocean basins of widely differing ages (youngest is at the top). S.L., sea level.

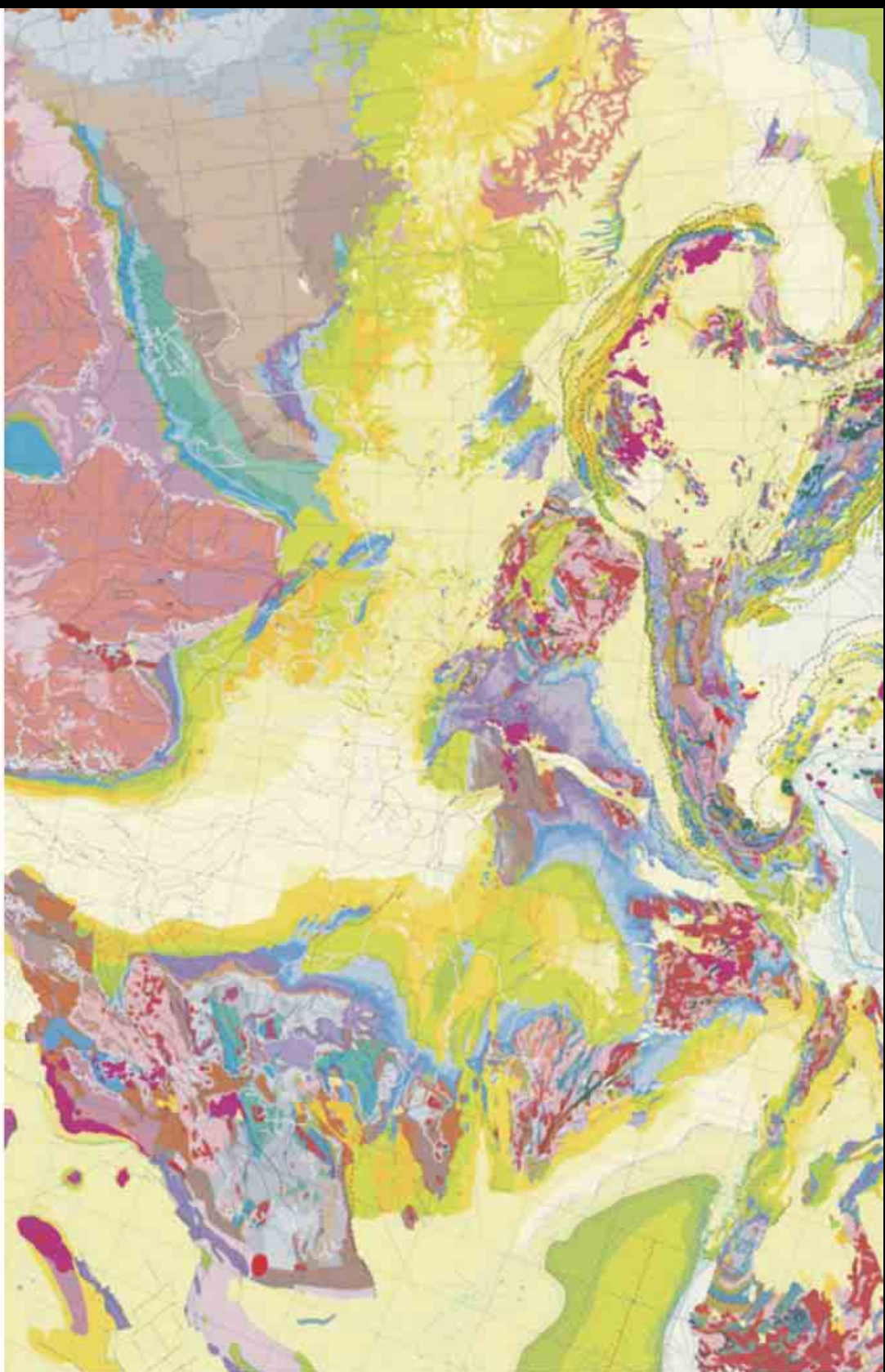
TRANSANTARCTIC MOUNTAINS

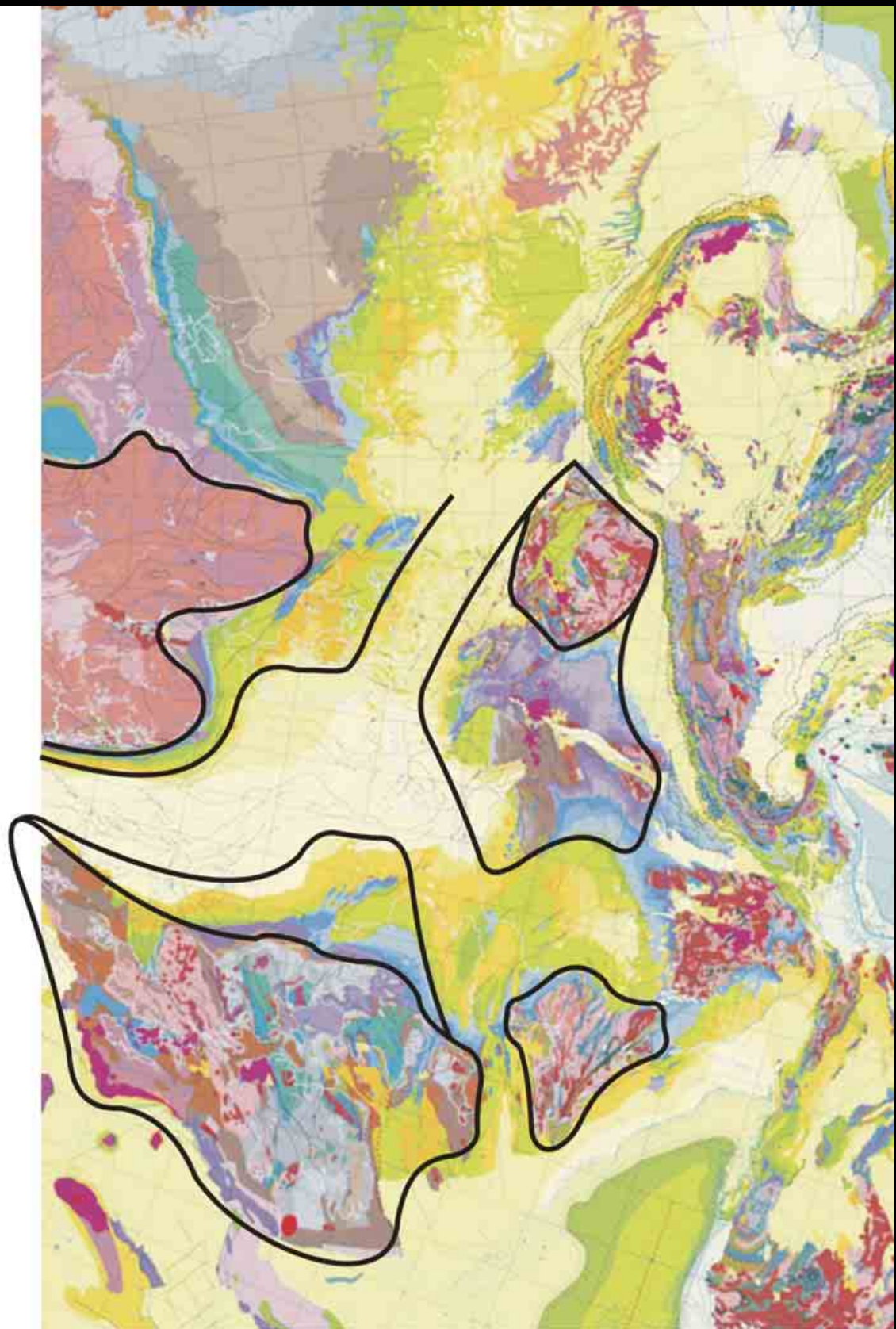


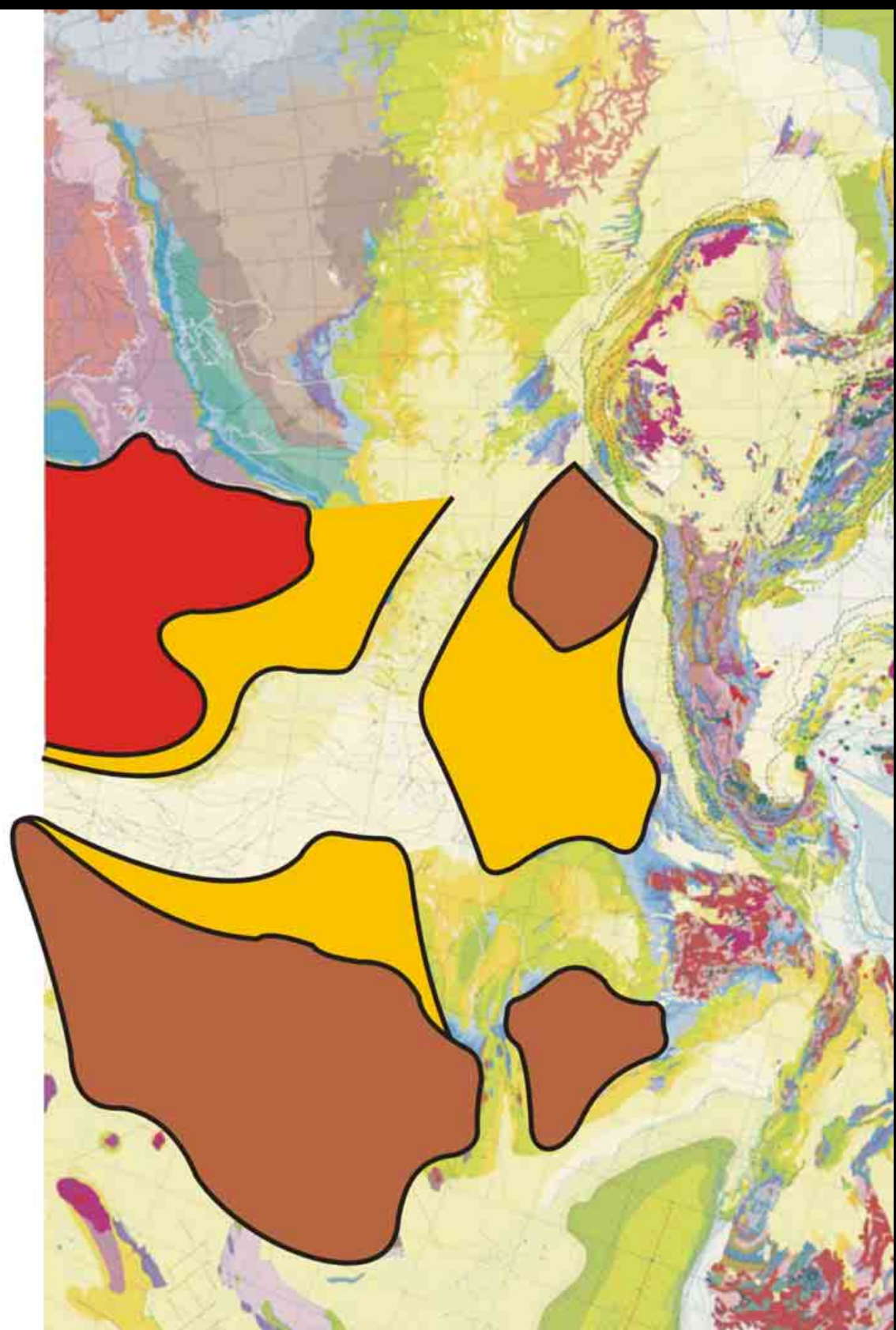


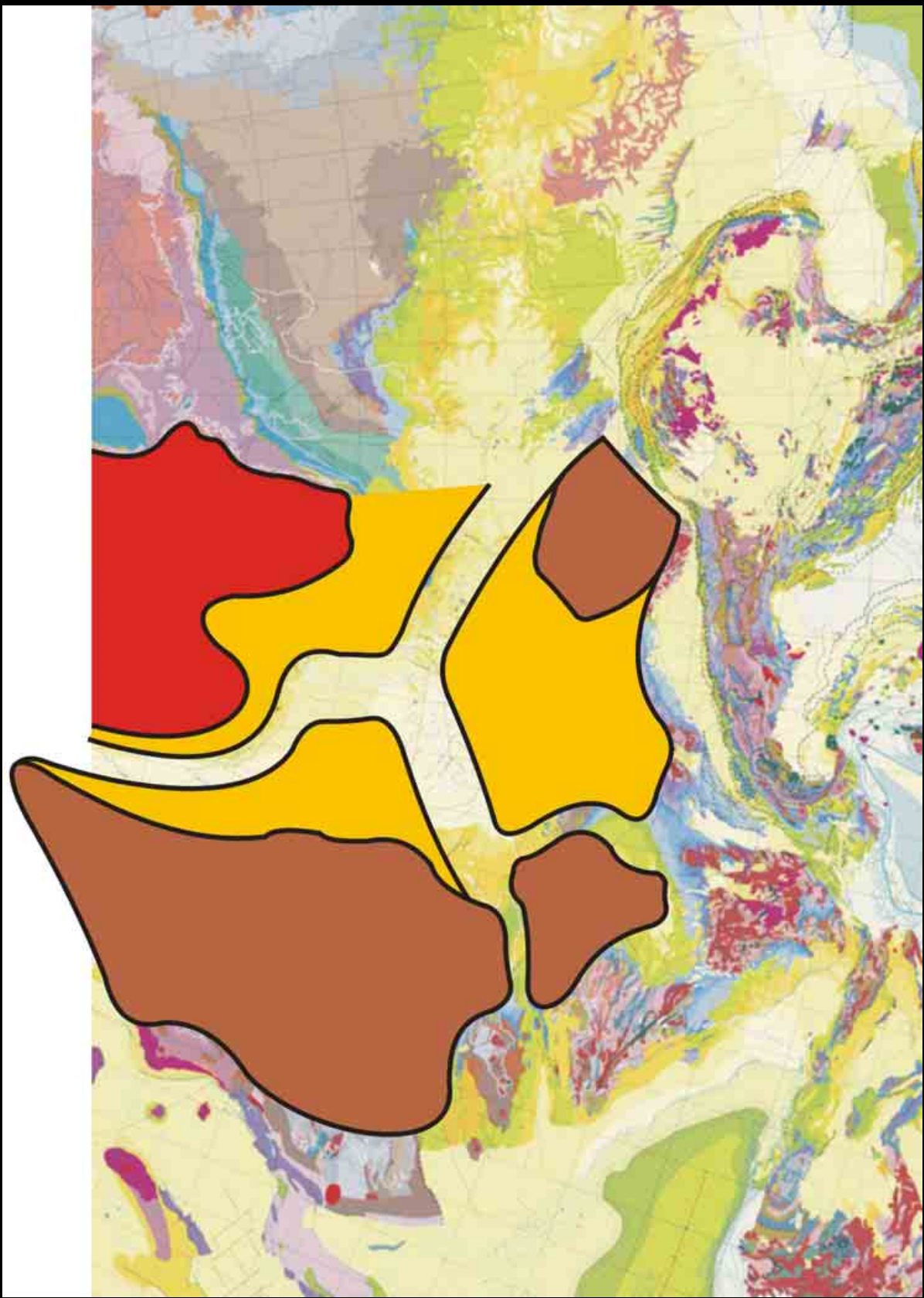


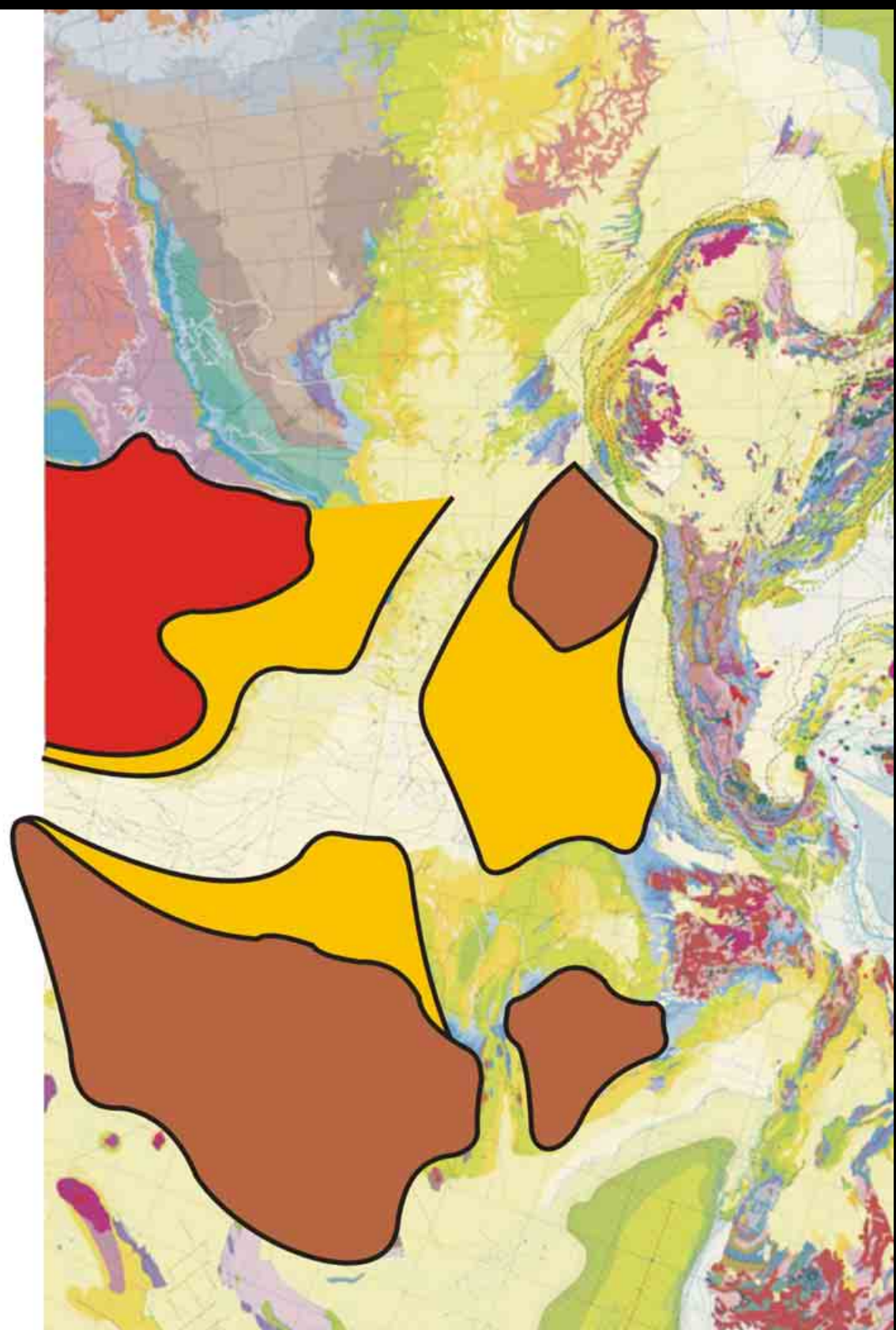
Wstępna rekonstrukcja zachodnio-europejskich basenów perykratonicznych

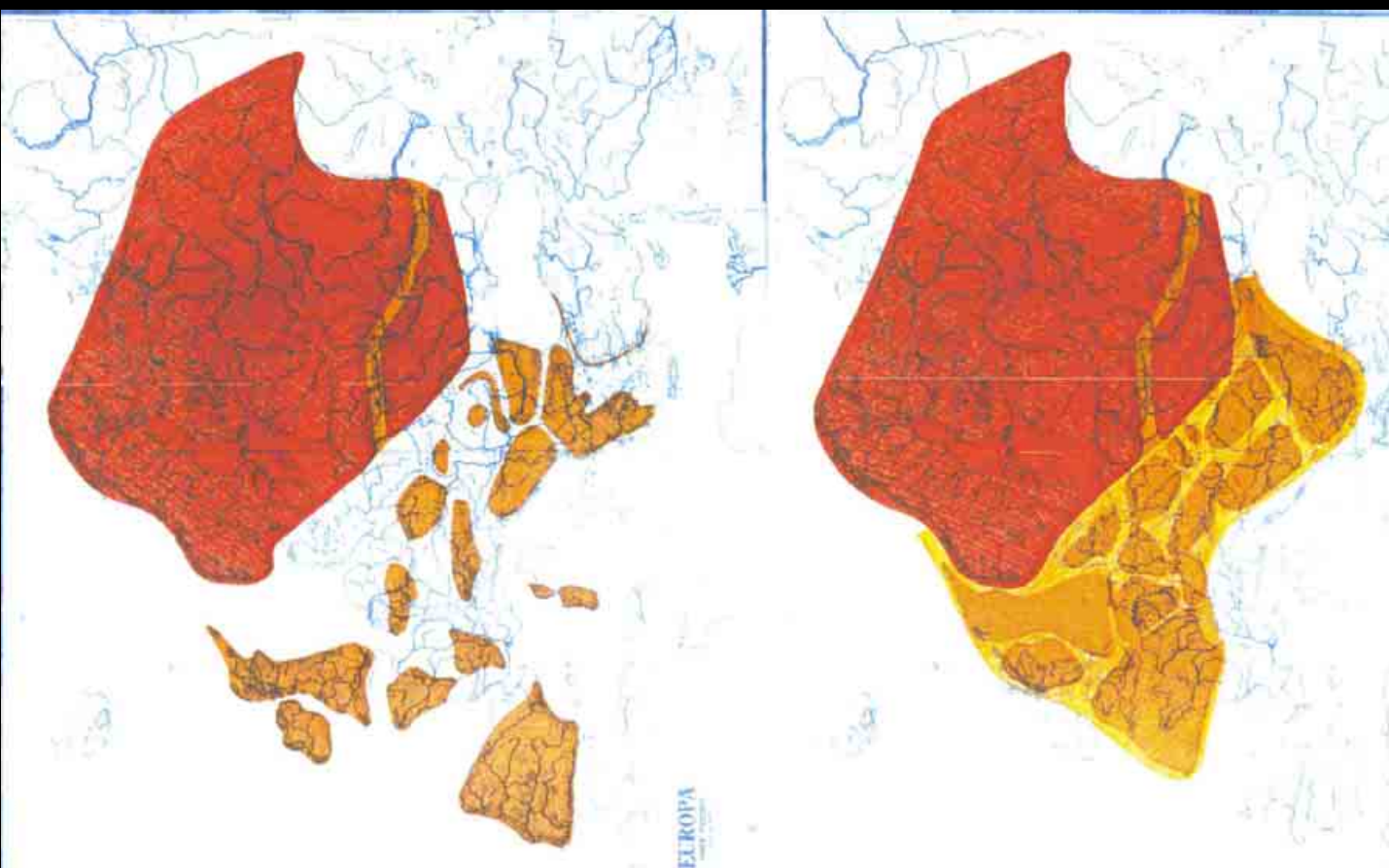


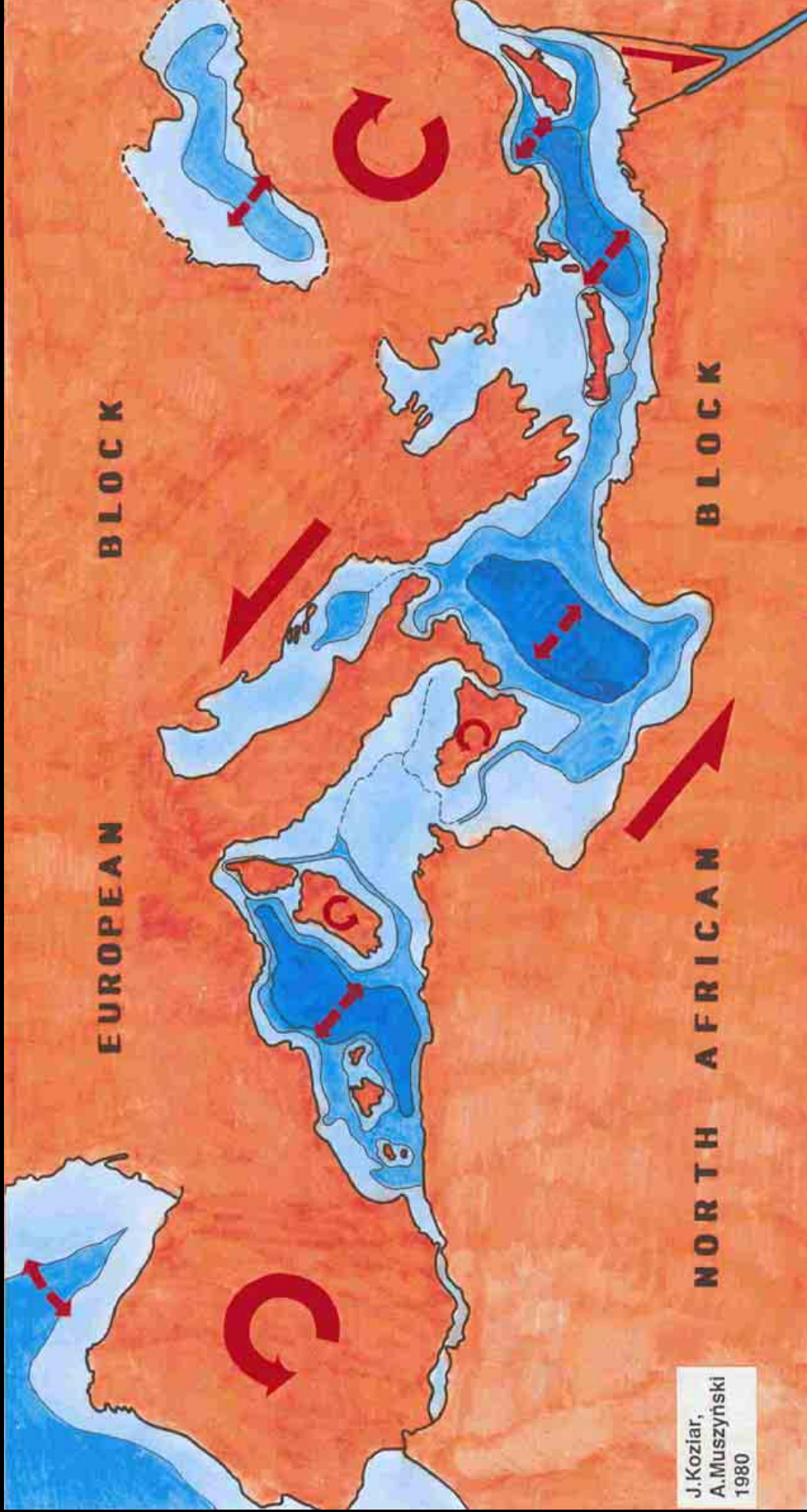










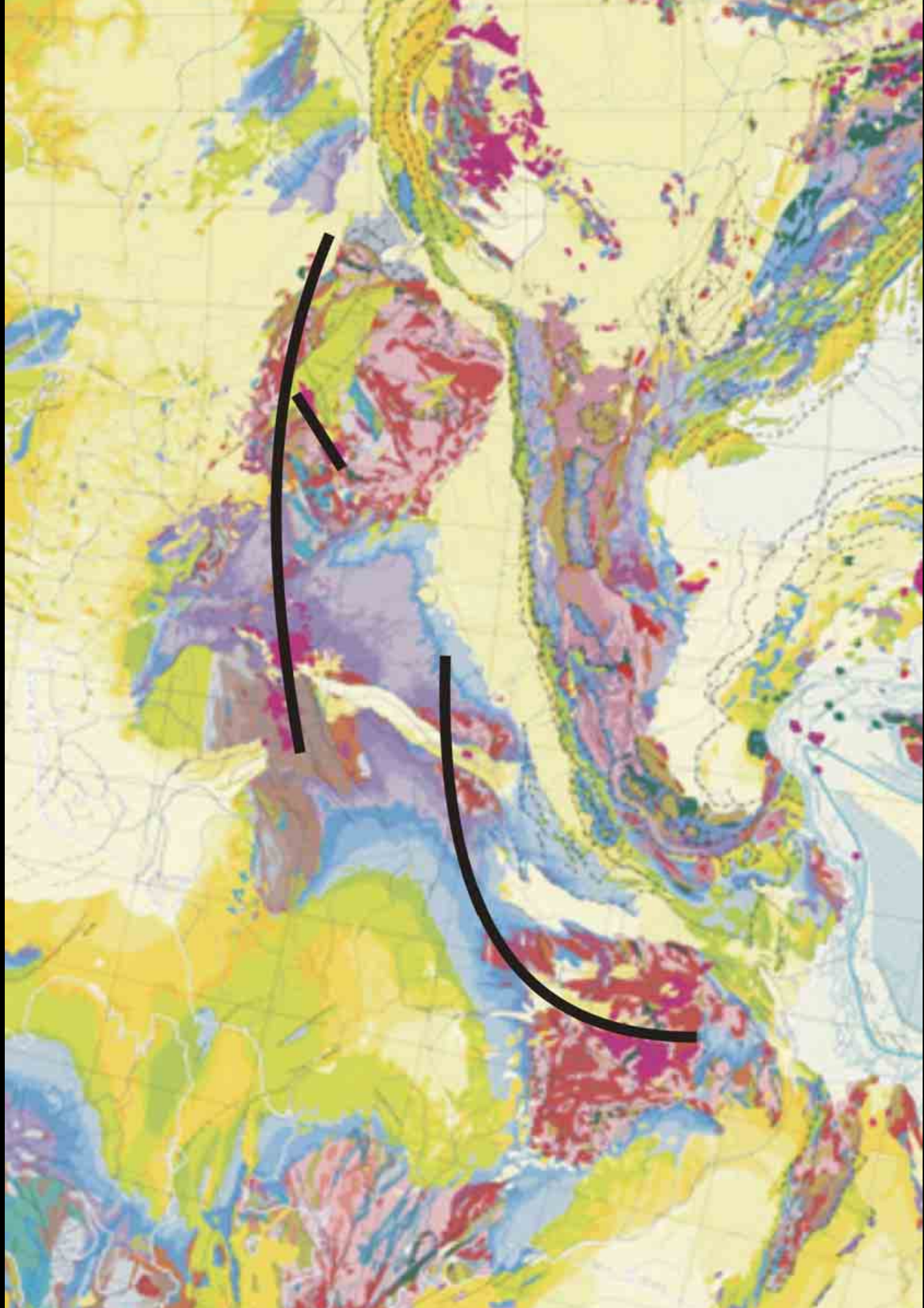


J.Koziar,
A.Muszyński
1980

2.

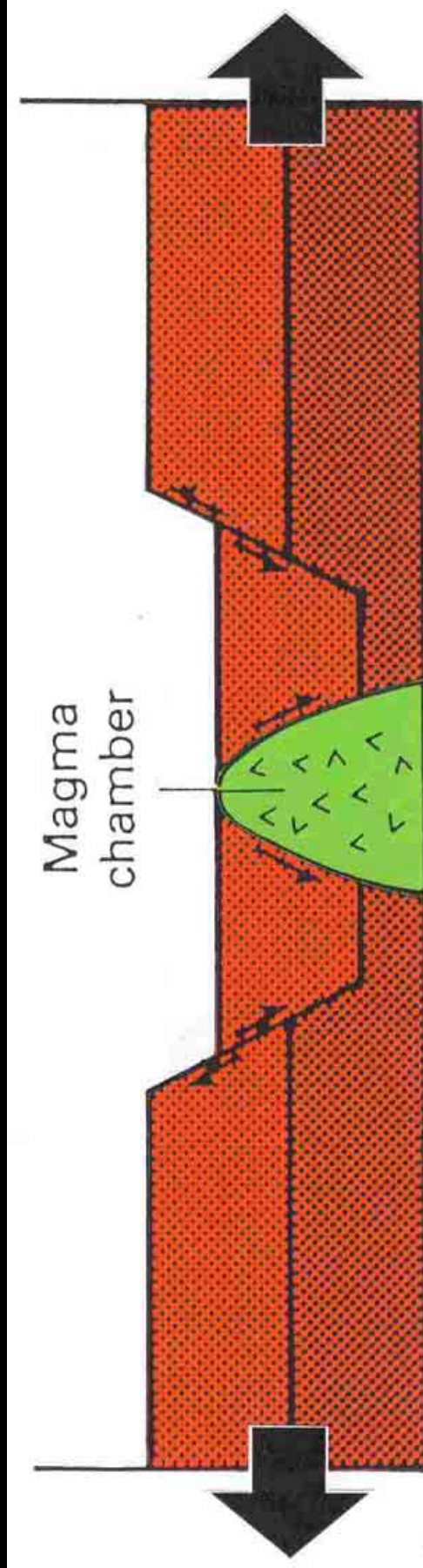
**Syn- i postoreganiczny
wulkanizm przedpolu orogenu
jako wskaźnik tensji**





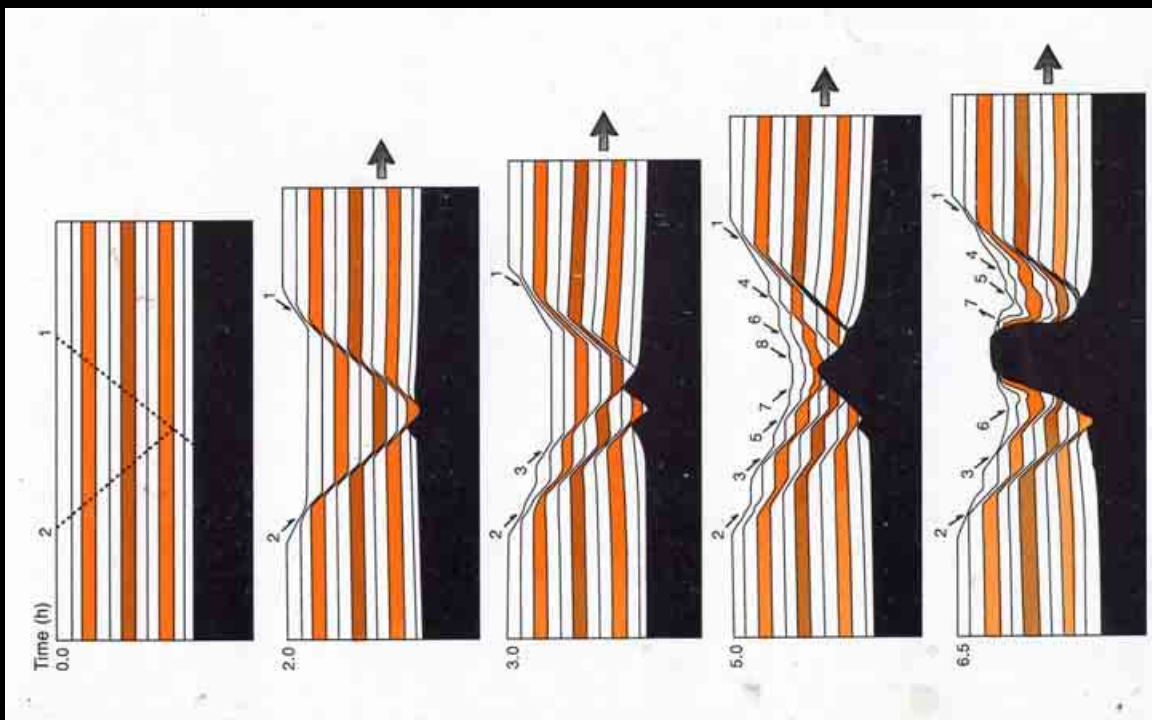


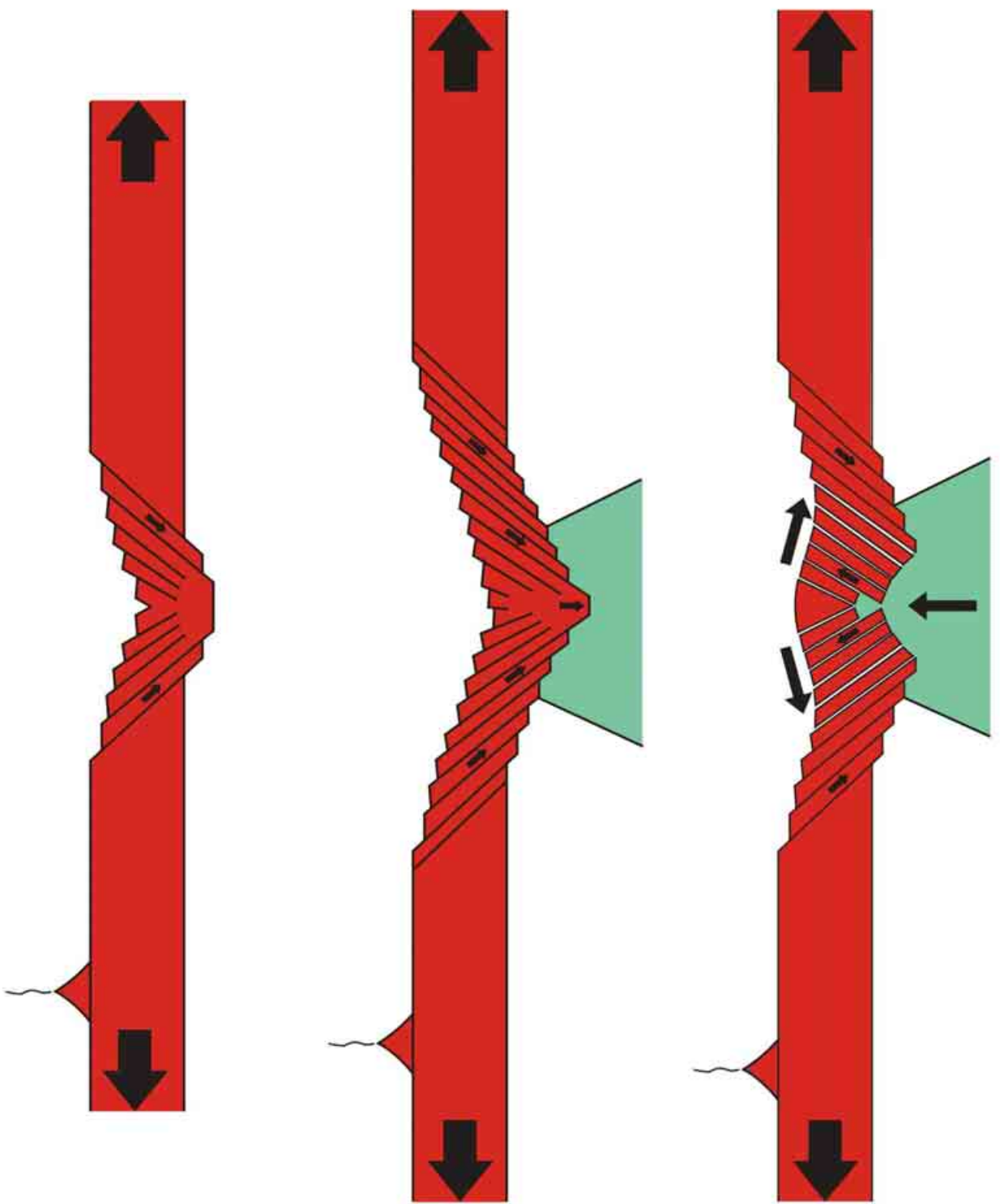




Regional extension as a geologic trigger for diapirism

Jackson
&
Vendeville
1994





Carey 1976

